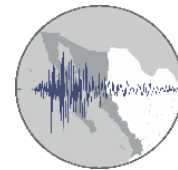


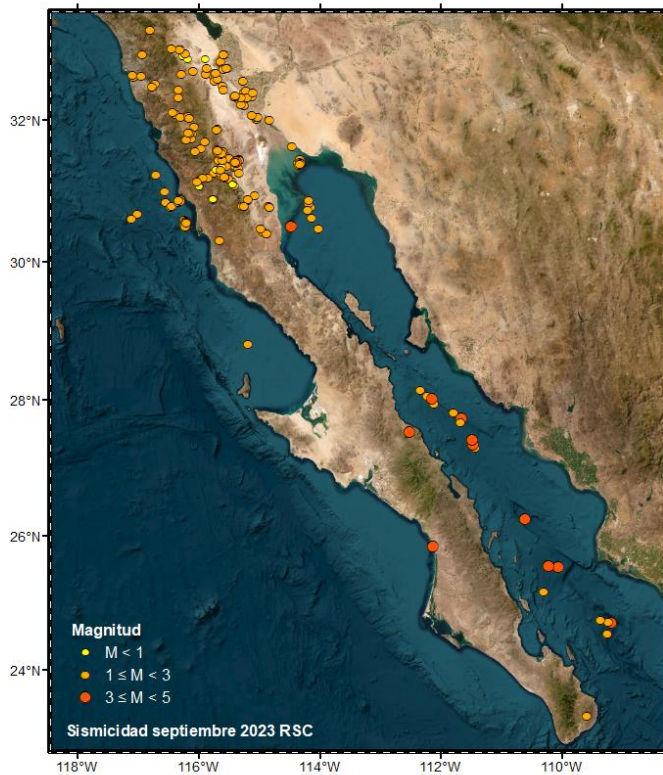
RED SISMOLÓGICA DEL CICESE



RSC
Red Sismológica
del CICESE

*Departamento de Sismología
División de Ciencias de la
Tierra*

*Centro de Investigación
Científica y de Educación
Superior de Ensenada, Baja
California.*

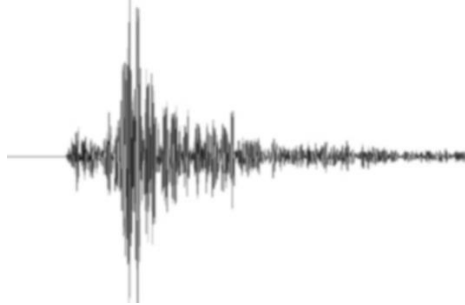


BOLETÍN DE INFORMACIÓN SÍSMICA *SEPTIEMBRE 2023*

Ensenada Baja - California, México

PERSONAL DE RESNOM

Investigadores



Dr. Oscar Alberto Castro Artola

Dr. Héctor González Huizar



Responsables del contenido y edición

Dr. Oscar Alberto Castro Artola
M.C. Alejandra Nuñez Leal
Téc. Francisco Javier Farfán Sánchez

Grupo Técnico

Rogelio Arce Villa
Sergio Manuel Arregui Ojeda
Guillermo Eduardo Díaz de Cossio Batani
Jesús Óscar Gálvez Valdez
Francisco Javier Farfán Sánchez
María Alejandra Núñez Leal
Rogelio Ojeda Aréchiga
Luis Alejandro Yegres Herrera

| | | |
|-----------|--|-----------|
| 1 | INTRODUCCIÓN | 1 |
| 2 | OBJETIVOS DEL BOLETÍN | 6 |
| 3 | ADQUISICIÓN Y PROCESAMIENTO | 6 |
| 3.1 | ADQUISICIÓN DE DATOS | 7 |
| 3.2 | PROCESAMIENTO DE LA INFORMACIÓN | 7 |
| 3.2.1 | <i>Automático</i> | 7 |
| 3.2.2 | <i>Manual</i> | 8 |
| 4 | MAGNITUD REPORTADA..... | 9 |
| 5 | CÁLCULO HIPOCENTRAL | 9 |
| 6 | MODELOS DE VELOCIDADES SÍSMICAS..... | 10 |
| 7 | RESUMEN | 11 |
| 8 | DESCRIPCIÓN DE PARÁMETROS | 12 |
| 9 | LISTADO DE EVENTOS REGISTRADOS POR RSC, SEPTIEMBRE 2023 | 13 |
| 10 | MAPA DE EVENTOS REGISTRADOS POR RSC, SEPTIEMBRE 2023 | 24 |
| 11 | REFERENCIAS..... | 25 |



LISTADO DE FIGURAS



| | |
|--|----|
| Figura 1.- Estructura de la Red Sismológica del CICESE (RSC)..... | 1 |
| Figura 2.- Estaciones que se reciben en Tiempo Real | 3 |
| Figura 3.- Procesamiento de señales recibidas | 7 |
| Figura 4.- Procesamiento Automático..... | 8 |
| Figura 5.- Interfaz Jiggle..... | 9 |
| Figura 6.- Gráfico de sismicidad registrada por RSC en Septiembre 2023 | 11 |
| Figura 7.- Mapa eventos mes de Septiembre 2023 | 24 |



LISTADO DE TABLAS



| | |
|---|----|
| Tabla 1.- Listado de estaciones que se reciben en Tiempo Real | 4 |
| Tabla 2.- Modelos de Velocidades Sísmicas. | 10 |
| Tabla 3.- Sismos registrados por la RSC en el mes de Septiembre 2023..... | 11 |
| Tabla 4.- Definición de conceptos | 12 |
| Tabla 5.- Tabla de eventos registrados en Septiembre de 2023 | 13 |

1 INTRODUCCIÓN

El CICESE ha operado diversas redes sísmicas durante más de cuatro décadas, siendo las redes una parte fundamental de la infraestructura del Departamento de Sismología. En el año 2015, la Red Sísmica del Noroeste de México (**RESNOM**), la Red de Acelerógrafos del Noroeste de México (**RANM**), la Red Sismológica de Banda Ancha del Golfo de California (**RESBAN**), la Red Urbana Acelerométrica de Baja California (**RAUBC**) y la Red Sismológica de la Paz (**RSLP**), se integran en una sola red, denominada Red Sismológica del CICESE¹ (**RSC**). En la Figura 1, se aprecia el esquema de integración de la **RSC**.

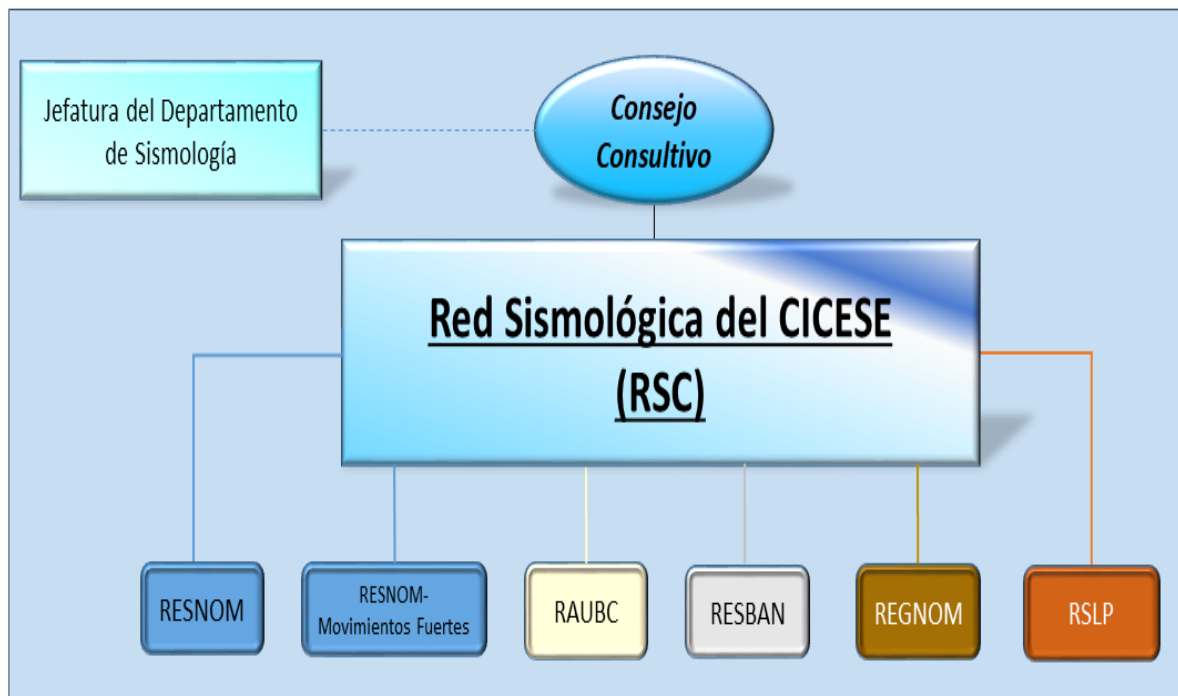


Figura 1.- Estructura de la Red Sismológica del CICESE (RSC).

Con el fin de facilitar y mejorar la operación de la RSC, se conformó en el 2015 el Consejo Consultivo de Red Sismológica del CICESE, como órgano de asesoría técnica, planeación estratégica y vinculación. A partir de Septiembre de 2017, la RSC (Figura 1) está integrada por las siguientes redes: RESNOM, RESNOM-Movimientos Fuertes (antes RANM), RAUBC, RESBAN, RSLP y REGNOM (Red Geodésica del Noroeste de México).

La RSC detecta y registra en forma continua la actividad sísmica que ocurre en: Baja California, el noroeste de Sonora, el Golfo de California y Baja California Sur. A la fecha está integrada por 41 estaciones con sensores de aceleración y velocidad (banda ancha), 5 estaciones de banda ancha, 1 de banda intermedia, 61 estaciones con sensores de aceleración y 30 estaciones con GPS/GNSS. De las estaciones con sensores de banda ancha y aceleración que se tienen, 56 transmiten datos en Tiempo Real, a través de Internet satelital, módem-celular o servicio de

¹ En el mes de Septiembre de 2018, se cambia de Nombre la Red Sísmica de CICESE por **Red Sismológica del CICESE**, al incluir la Red Geodésica del Noroeste de México.



Internet convencional, al Centro de Procesamiento de Datos ubicado en el Centro de Investigación Científica y de Educación Superior en Ensenada, Baja California (CICESE).

Los datos que se reciben de las estaciones de: a) la Red Sismológica del CICESE, b) del Servicio Sismológico Nacional y c) de la Red del Sur de California, ANZA y TA, se utilizan para realizar los procesos y con ello obtener los hipocentros y magnitudes de los eventos en Tiempo Real que suceden en la cobertura de la Red se pueden apreciar en la Tabla 1 y Figura 2.

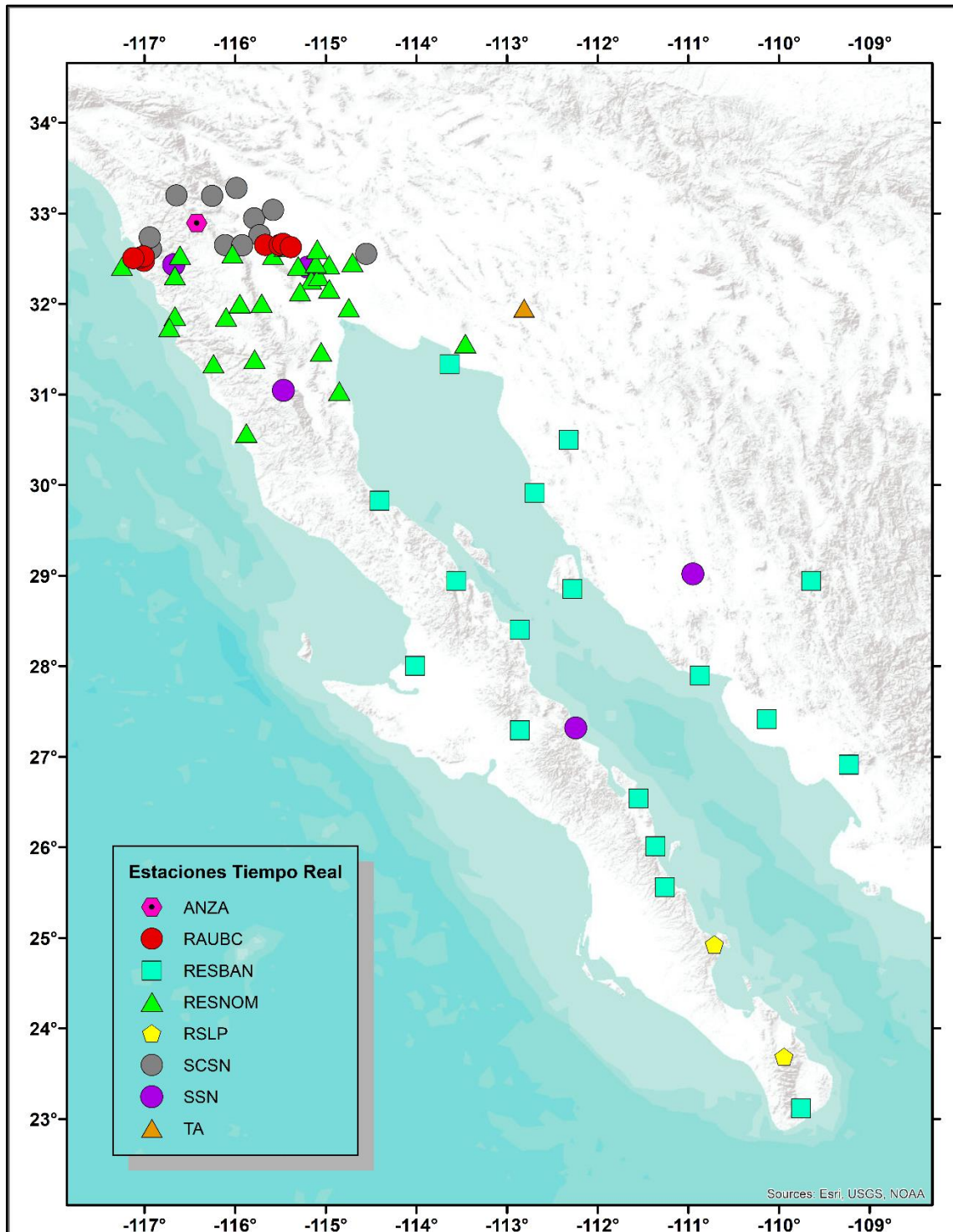


Figura 2.- Estaciones que se reciben en Tiempo Real

Tabla 1.- Listado de estaciones que se reciben en Tiempo Real

| No | ID | Latitud | Longitud | Elevación | RED | Ubicación | Municipio | Estado |
|-----|--------|---------|-----------|-----------|--------|---------------------------------------|-----------------------|--------|
| 1. | MONP2 | 32.8920 | -116.4223 | 1875 | ANZA | Monument Peak TA Vault ANZA | Mt. Laguna | CA |
| 2. | AGUTJ | 32.4784 | -117.0060 | 229.7 | RAUBC | Aguaje de la Tuna CESPT ² | Tijuana | BC |
| 3. | CEA0 | 32.6518 | -115.6690 | 17.3 | RAUBC | Comisión Estatal del Agua | Mexicali | BC |
| 4. | DEPTJ | 32.5100 | -117.0540 | 211.1 | RAUBC | Dirección de Protección Civil | Tijuana | BC |
| 5. | HGTTJ | 32.5260 | -117.0090 | 1.6 | RAUBC | Hospital General Tijuana | Tijuana | BC |
| 6. | ICBC | 32.6638 | -115.4720 | 7.9 | RAUBC | Instituto Cultural de Baja California | Mexicali | BC |
| 7. | PLATJ | 32.5056 | -117.1230 | 27.9 | RAUBC | Playas de Tijuana, Planta de bombeo | Tijuana | BC |
| 8. | POT2 | 32.6278 | -115.3850 | 11 | RAUBC | Potabilizadora 2 | Mexicali | BC |
| 9. | BAHB | 28.9430 | -113.5610 | 35 | RESBAN | Bahía de los Ángeles | Ensenada | BC |
| 10. | BKIRB | 28.8521 | -112.2760 | 20 | RESBAN | Bahía de Kino | Hermosillo | Sonora |
| 11. | CDORB | 27.4153 | -110.1325 | 20 | RESBAN | Cd. Obregón | Cd. Obregón | Sonora |
| 12. | GUYB | 27.8990 | -110.8710 | 50 | RESBAN | Guaymas | Guaymas | Sonora |
| 13. | NAVRB | 26.9150 | -109.2300 | 183 | RESBAN | Navojoa | Navojoa | Sonora |
| 14. | NE74 | 28.0070 | -114.0130 | 21 | RESBAN | Guerrero Negro | Mulegé | BCS |
| 15. | NE79 | 23.1190 | -109.7560 | 225 | RESBAN | San José el Viejo | Los Cabos | BCS |
| 16. | NE80 | 30.5000 | -112.3190 | 225 | RESBAN | Caborca | Caborca | Sonora |
| 17. | NOVIRB | 28.9410 | -109.6440 | 287 | RESBAN | El Novillo | San Pedro de la Cueva | Sonora |
| 18. | PLIB | 29.9150 | -112.6940 | 40 | RESBAN | Puerto Libertad | Pitiquito | Sonora |
| 19. | PPXB | 31.3350 | -113.6230 | 10 | RESBAN | Puerto Peñasco | Puerto Peñasco | Sonora |
| 20. | SFQB | 28.4050 | -112.8610 | 50 | RESBAN | San Francisquito | Ensenada | BC |
| 21. | SLGB | 29.8300 | -114.4040 | 15 | RESBAN | San Luis Gonzaga | Ensenada | BC |
| 22. | SNIRB | 26.5420 | -111.5490 | 7 | RESBAN | San Nicolás | Loreto | BCS |
| 23. | UAGRB | 25.562 | -11.257 | 299 | RESBAN | Última Agua | Loreto | BCS |
| 24. | AGSX | 32.2658 | -115.1604 | 20 | RESNOM | Aguascalientes | Valle Mexicali | BC |
| 25. | ALAMX | 32.0078 | -115.7085 | 320 | RESNOM | Rancho Alamar | Mexicali | BC |
| 26. | CBX | 32.3132 | -116.6641 | 1247 | RESNOM | Cerro Bola | Tijuana/Tecate | BC |
| 27. | CCX | 31.8678 | -116.6640 | 27 | RESNOM | CICESE | Ensenada | BC |
| 28. | CHX | 31.4722 | -115.0520 | 44 | RESNOM | El Chinero | Ensenada | BC |
| 29. | CORX | 32.4152 | -117.2481 | 76 | RESNOM | Isla Coronado | Tijuana | BC |

² Comisión Estatal de Servicios Públicos de Tijuana

| No | ID | Latitud | Longitud | Elevación | RED | Ubicación | Municipio | Estado |
|-----|-------------------|---------|-----------|-----------|--------|---------------------------------|-----------------------|--------|
| 30. | CPX | 32.4195 | -115.3048 | 197 | RESNOM | Cerro Prieto | Mexicali | BC |
| 31. | DOCX | 31.9595 | -114.7452 | 5 | RESNOM | El Doctor | Mexicali | BC |
| 32. | GUVIX | 32.3028 | -115.0758 | 61 | RESNOM | Guadalupe Victoria | Mexicali | BC |
| 33. | JARAX | 32.5378 | -115.5815 | 3 | RESNOM | Heriberto Jara | Mexicali | BC |
| 34. | OJNX | 31.8572 | -116.0985 | 892 | RESNOM | Ojos Negros | Ensenada | BC |
| 35. | PBX | 31.7414 | -116.7249 | 362 | RESNOM | Cerro Punta Banda | Ensenada | BC |
| 36. | PESCX | 32.4433 | -114.9649 | 36 | RESNOM | Pescaderos | Mexicali | BC |
| 37. | PIX | 31.5630 | -113.4598 | 84 | RESNOM | Pinacate | Puerto Peñasco | Sonora |
| 38. | RHX | 32.1350 | -115.2840 | 24 | RESNOM | Rio Hardy | Mexicali | BC |
| 39. | RITX | 32.1659 | -114.9610 | 15 | RESNOM | Riito | San Luis Río Colorado | Sonora |
| 40. | RMX | 32.5535 | -116.0287 | 1290 | RESNOM | Rumorosa | Mexicali | BC |
| 41. | SFX | 31.0358 | -114.8505 | 17 | RESNOM | San Felipe | Mexicali | BC |
| 42. | SJX | 32.0049 | -115.9478 | 1636 | RESNOM | Sierra Juárez | Mexicali | BC |
| 43. | SLRCX | 32.4579 | -114.7048 | 47 | RESNOM | San Luis Río Colorado | San Luis Río Colorado | Sonora |
| 44. | SQX | 30.5761 | -115.8758 | 83 | RESNOM | San Quintín | Ensenada | BC |
| 45. | SV2X | 31.8676 | -116.6643 | 53 | RESNOM | San Vicente | Ensenada | BC |
| 46. | TJX | 32.5098 | -117.0543 | 171 | RESNOM | Tijuana | Tijuana | BC |
| 47. | TKX | 32.5692 | -116.6074 | 579 | RESNOM | Tecate | Tecate | BC |
| 48. | TL2X ³ | 32.4480 | -115.1087 | -3 | RESNOM | Tlaxcala | Mexicali | BC |
| 49. | UABX | 32.6317 | -115.4446 | 34 | RESNOM | Ingeniería UABC | Mexicali | BC |
| 50. | VTX | 31.3914 | -115.7838 | 750 | RESNOM | Valle de la Trinidad | Ensenada | BC |
| 51. | YUC2X | 32.6055 | -115.0940 | 13 | RESNOM | Ejido Yucatán | Mexicali | BC |
| 52. | EVARO | 24.9274 | -110.7119 | 17 | RSLP | San Evaristo | La Paz | BCS |
| 53. | SLBS | 23.6858 | -109.944 | 843 | RSLP | Sierra la Laguna | La Paz | BCS |
| 54. | BAR | 32.6801 | -116.6722 | | SCSN | Barret, | San Diego | CA |
| 55. | DRE | 32.8053 | -115.4468 | -13 | SCSN | Desert Research Extended Center | Holtville | CA |
| 56. | EML | 33.0515 | -114.827 | 161 | SCSN | Lakside, El Monte Co Park | El Cajon | CA |
| 57. | EMS | 32.7392 | -114.9852 | 11 | SCSN | East Mesa | San Diego | CA |
| 58. | GLA | 33.0515 | -114.827 | 610 | SCSN | Glamis, Black Mountain Rd. | Glamis | CA |
| 59. | IKP | 32.6501 | -116.1095 | 906 | SCSN | In-Ko-Pah | Jacumba | CA |
| 60. | MTG | 33.1991 | -116.6472 | 1092 | SCSN | Mataguay Scout Camp | San Diego | CA |

³ Cambian de nombre las estaciones YUCAX (YUC2X) y TLX (TL2X) en Septiembre 3 del 2021

| No | ID | Latitud | Longitud | Elevación | RED | Ubicación | Municipio | Estado |
|-----|------|----------|-----------|-----------|------|------------------------------|-----------------|--------|
| 61. | OLP | 32.6077 | -116.9301 | 159 | SCSN | Otay Lakes Park | Chula Vista | CA |
| 62. | SAL | 33.2801 | -115.9850 | 14 | SCSN | Salton City | Salton City | CA |
| 63. | SDR | 32.7350 | -116.9424 | 113 | SCSN | San Diego Road | El Cajon | CA |
| 64. | SLH | 33.1926 | -116.2539 | 208 | SCSN | Sleepy Hollow | City of Chino | CA |
| 65. | SWS | 32.9451 | -115.7900 | 140 | SCSN | Sam W Stewart | Wessmorland | CA |
| 66. | WES | 32.7590 | -115.7310 | -8 | SCSN | Westside Elementary School | Seeley | CA |
| 67. | WMD | 33.0382 | -115.5819 | -45 | SCSN | Westmorland | Imperial | CA |
| 68. | YMD | 32.5539 | -114.5535 | 39 | SCSN | Yuma Desert | Salton | AZ |
| 69. | YUH2 | 32.6475 | -115.9222 | 184 | SCSN | Yuha Desert | Imperial Valley | CA |
| 70. | HSIG | 29.0197 | -110.9492 | 257 | SSN | Hermosillo | Hermosillo | Sonora |
| 71. | MBIG | 32.4071 | -115.1981 | 13 | SSN | Mexicali | Mexicali | BC |
| 72. | SPIG | 31.0459 | -115.4660 | 2785 | SSN | San Pedro Mártir | Ensenada | BC |
| 73. | SRIG | 27.3198 | -112.2410 | 18 | SSN | Santa Rosalía | Santa Rosalía | BCS |
| 74. | TJIG | 32.43337 | -116.6762 | 317 | SSN | Tijuana | Tijuana | BC |
| 75. | 214A | 31.9559 | -112.8115 | 543 | TA | Organ Pipe National Monument | Condado de Pima | AZ |

2 OBJETIVOS DEL BOLETÍN

El Boletín de Información Sísmica difundido por RESNOM, tiene como objetivo de presentar los resultados de la recepción en tiempo real y del procesado de las señales sísmicas, de eventos registrados por la red. Estas señales corresponden a temblores ocurridos en el norte de Baja California, el noroeste de Sonora, el Golfo de California, así como en la región sur de Baja California Sur.

El boletín consiste en un listado de tiempos de origen, localizaciones hipocentrales, magnitud y algunos parámetros relativos a la localización de los sismos registrados (error cuadrático medio de los residuales de tiempo y número de lecturas utilizadas en la localización). Adicionalmente, se anexan mapas que muestra la distribución epicentral de los sismos localizados.

3 ADQUISICIÓN Y PROCESAMIENTO

- Adquisición de datos.
- Procesamiento de la Información
- Magnitudes reportadas
- Cálculo Hipocentral

3.1 ADQUISICIÓN DE DATOS

Las señales digitalizadas se transmiten de forma continua al CICESE utilizando Internet convencional, módem-celular, Internet satelital y en algunas se utiliza el sistema radio-Internet. La información de los eventos sísmicos y de vibración ambiental (continuo) se encuentran almacenadas en Bases de Datos.

3.2 PROCESAMIENTO DE LA INFORMACIÓN

El procesamiento de la información (Figura 3) se divide de la siguiente forma:

3.2.1 Automático

Tras el arribo de las señales sísmicas al centro de procesamiento de RESNOM (Figura 4), se analizan y procesan a través del sistema AQMS [6]/Earthworm [9] el cual consiste en: detección automática de sismos, cálculo de tiempos de arribo, localización de hipocentros y cálculo de magnitudes (basados en los programas: Hypoinverse[4], Binder y localmag). Además, se utilizan los acelerogramas para determinar las aceleraciones máximas de los sismos con magnitudes Septiembreres a 3.5, con las cuales se generan mapas de intensidades.

Estos datos obtenidos son preliminares y sirven para proporcionar una primera información acerca del evento.

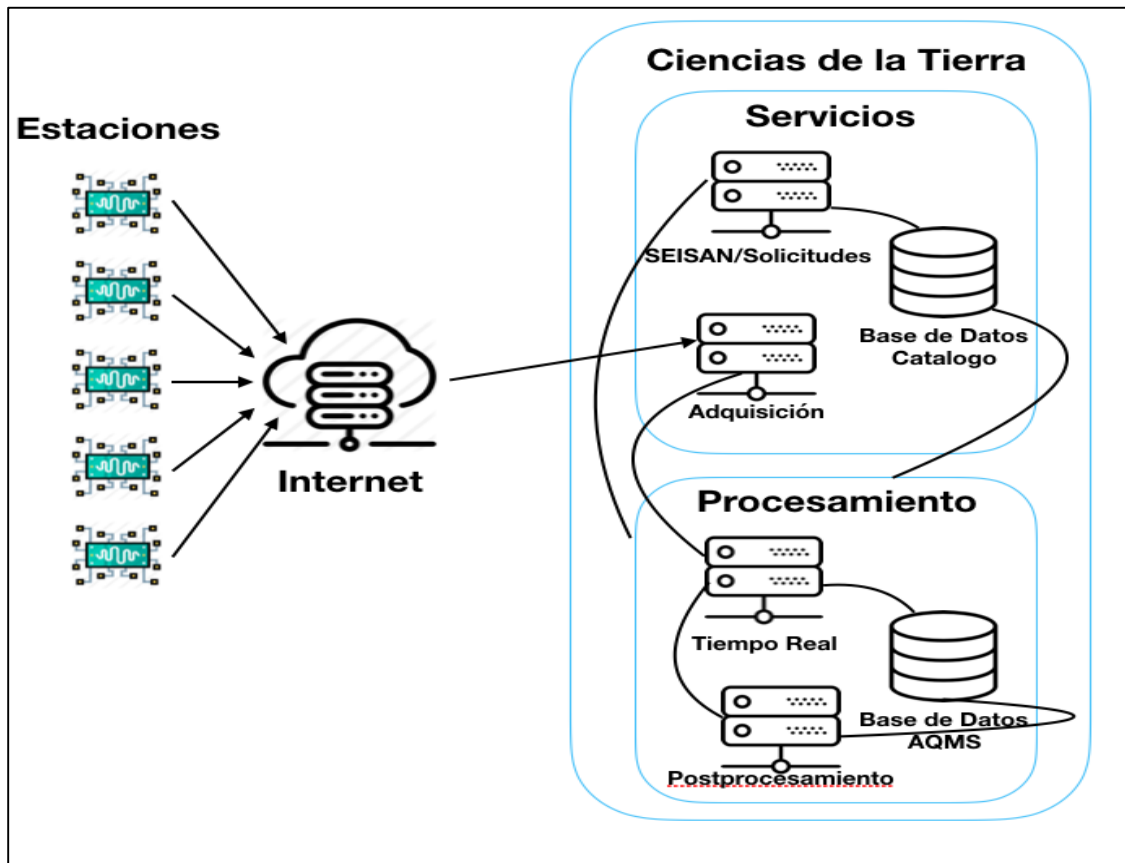


Figura 3.- Procesamiento de señales recibidas

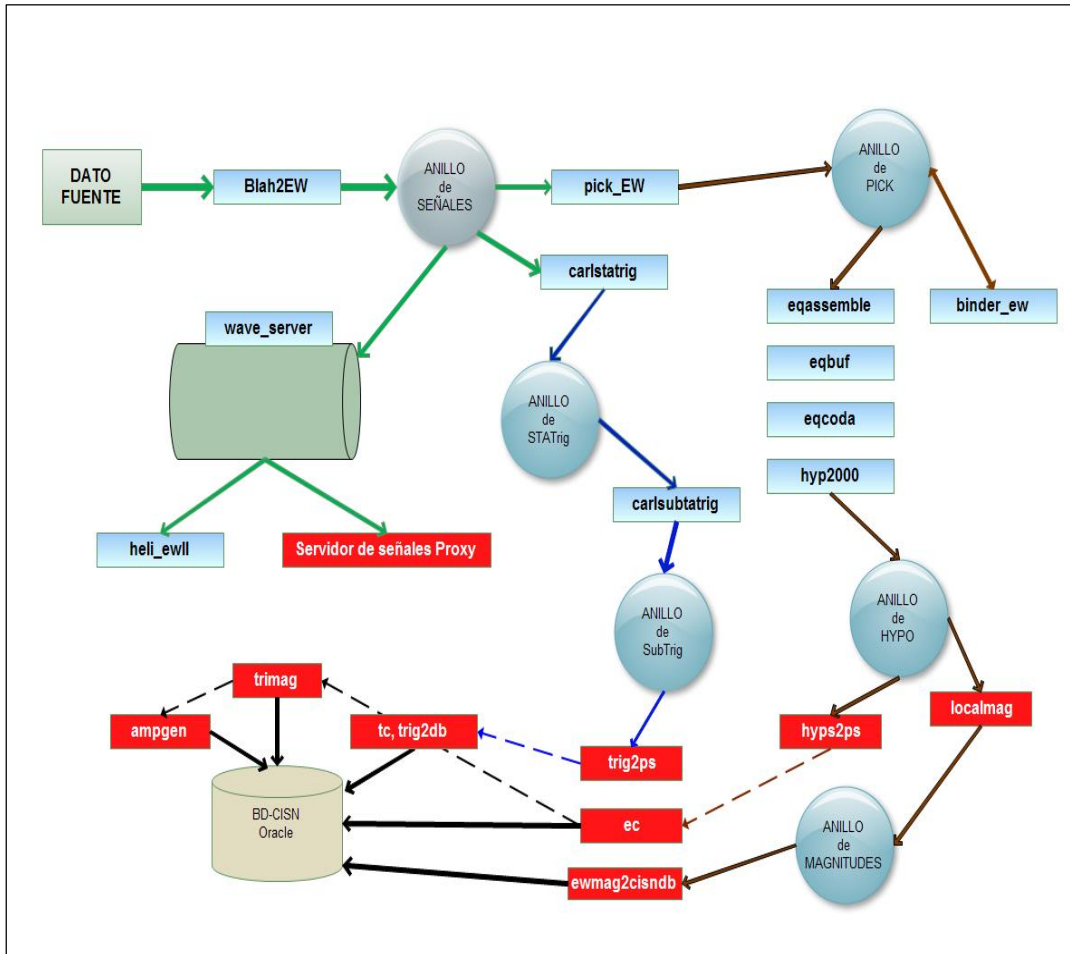


Figura 4.- Procesamiento Automático.

3.2.2 *Manual*

Posteriormente, en la etapa de postprocesamiento la información es revisada detalladamente por los analistas mediante los programas: SEISAN [3] y Jiggle [5] (Figura 5). Durante este proceso se obtienen localizaciones hipocentrales y magnitudes más precisas, ya que además de ser revisado por un analista, se tiene más información para procesar.

- a. SEISAN –
Se realiza el postprocesamiento de los eventos registrados y se almacena en la base datos de SEISAN.
- b. JIGGLE –

Mediante esta interfaz se postprocesan los eventos, el resultado de este trabajo va a actualizar la base de datos ORACLE de AQMS.

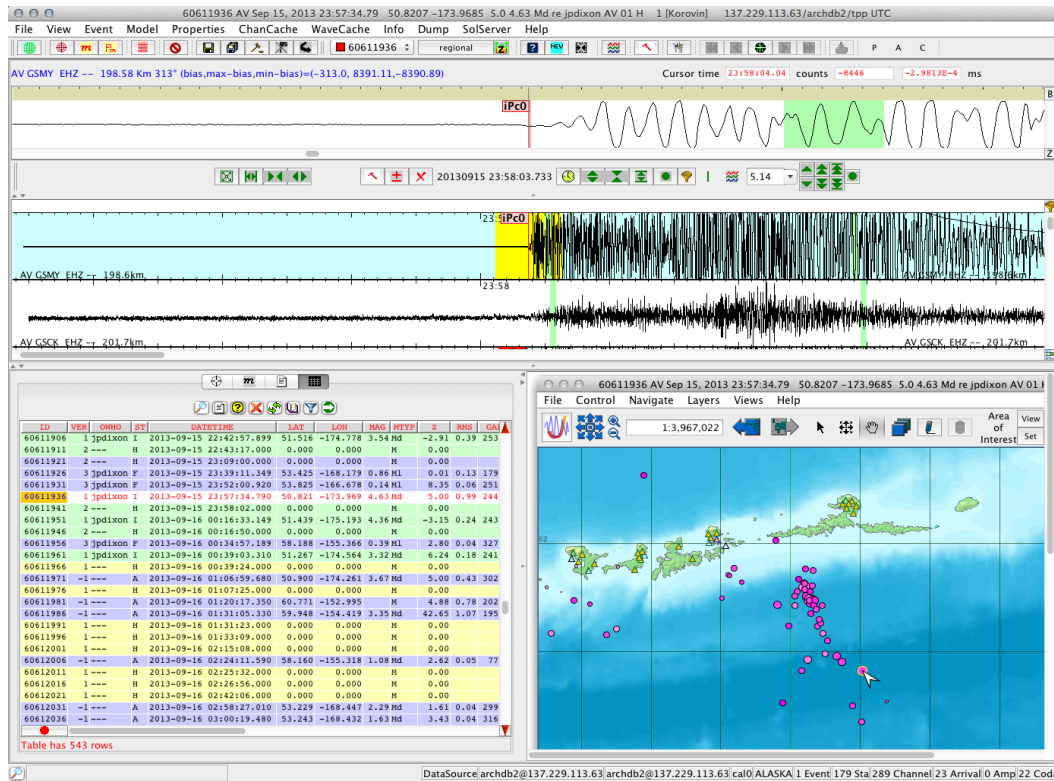


Figura 5.- Interfaz Jiggle

4 MAGNITUD REPORTADA

La magnitud es un valor único y es una medida cuantitativa del sismo relacionada con la energía sísmica liberada. Para su determinación han sido creadas diferentes escalas, dependiendo del tipo de onda en el que se base la medición.

La Magnitud Local es la que reporta en este boletín.

- **Magnitud Local (ML)** – Es definida con base en la fórmula que Charles Richter formuló en 1935, para sismos locales en California. Se adecua la fórmula para la zona en la que se presenta el sismo (Vidal y Munguía, 1999) [10].

$$Ml = \log_{10}(amp) + 1.132 \log_{10}(dist) + 0.0017(dist) - 2.11$$

dist – distancia hipocentral en km.

amp – amplitud.

5 CÁLCULO HIPOCENTRAL

Para el cálculo de la localización hipocentral se realiza en su forma automática mediante el programa denominado Earthworm [9] el cual hace uso del programa Hypoinverse [4].

6 MODELOS DE VELOCIDADES SÍSMICAS

Se presentan los diferentes modelos de velocidades sísmicas de la región.

Tabla 2.- Modelos de Velocidades Sísmicas.

| Macizo Rocoso | | Valle de Mexicali | | Bahía | | Golfo Centro | | Golfo Sur | |
|--------------------------|--------------------------|--------------------------|--------------------------|--------------------------|--------------------------|----------------------------|--------------------------|--------------------------|--------------------------|
| Profundidad <i>km</i> | Velocidad <i>km/s</i> | Profundidad <i>km</i> | Velocidad <i>km/s</i> | Profundidad <i>km</i> | Velocidad <i>km/s</i> | Profundidad <i>km/s</i> | Velocidad <i>km/s</i> | Profundidad <i>km</i> | Velocidad <i>km/s</i> |
| 0.0 – 5.0 | 5.6 | 0.0 – 0.1 | 1.7 | 0.0 | 1.96 | 0.0 | 4.0 | 0.0 | 4.0 |
| 5.0 – 19.8 | 6.6 | 0.10 – 0.73 | 2.0 | 2.0 | 4.60 | 4.0 | 5.7 | 2.0 | 6.0 |
| 19.8 – 41.8 | 7.0 | 0.73 – 1.8 | 2.3 | 8.0 | 5.52 | 8.0 | 6.7 | 7.0 | 6.40 |
| 41.8 – | 8.0 | 1.8 – 2.9 | 2.6 | 19.0 | 6.66 | 24.0 | 8.0 | 14.0 | 6.90 |
| | | 2.9 – 5.6 | 3.0 | 24.0 | 7.90 | | | 24.0 | 7.60 |
| | | 5.62 – 10.0 | 5.0 | 55.0 | 8.30 | | | 80.0 | 8.0 |
| | | 10.0 – 20.0 | 6.1 | | | | | | |
| | | 20.0 – 30.0 | 7.8 | | | | | | |
| | | 30.0 – | 8.0 | | | | | | |

7 RESUMEN

Durante el mes de Septiembre de 2023 la Red Sísmica del CICESE registró y procesó un total de **251** sismos dentro de un rango de $0.4 \leq M \leq 4.0$, como se puede apreciar en la Tabla 3 y Figura 6.

Tabla 3.- Sismos registrados por la RSC en el mes de Septiembre 2023

| Mes | Total | Magnitud | | | | | | | |
|-------------------|-------|----------|----------------|----------------|----------------|----------------|----------------|----------------|------------|
| | | $M < 1$ | $1 \leq M < 2$ | $2 \leq M < 3$ | $3 \leq M < 4$ | $4 \leq M < 5$ | $5 \leq M < 6$ | $6 \leq M < 7$ | $M \geq 7$ |
| Septiembre | 251 | 16 | 152 | 70 | 11 | 2 | 0 | 0 | 0 |

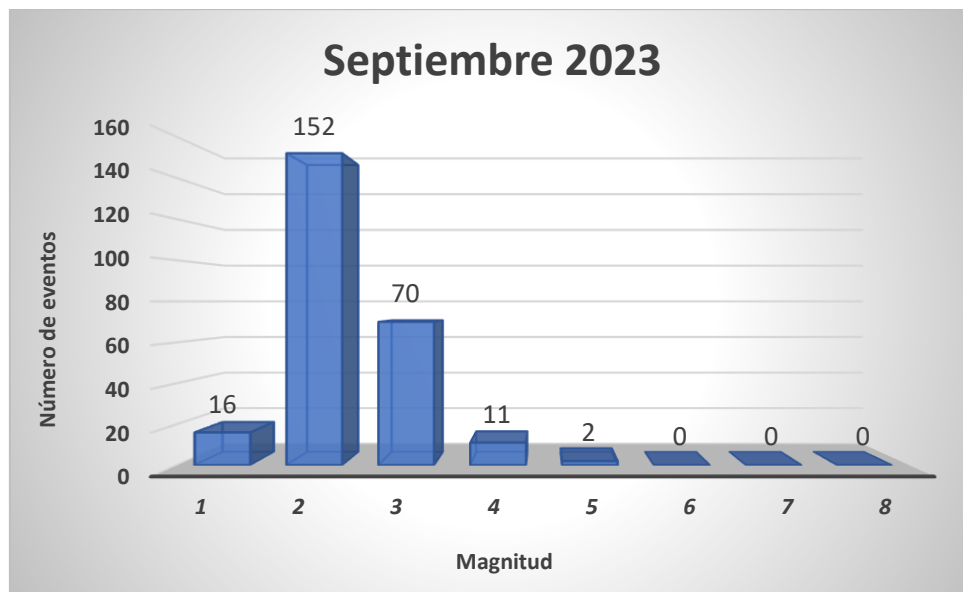


Figura 6.- Gráfico de sismicidad registrada por RSC en Septiembre 2023

8 DESCRIPCIÓN DE PARÁMETROS

En la Tabla 4 se definen los conceptos que se utilizados para enumerar cada uno de los eventos ocurridos durante el mes.

Tabla 4.- Definición de conceptos

| Parámetros | Descripción |
|---------------------------------|--|
| # | Numeración progresiva |
| Tiempo de origen | Fecha (año, mes y día), Hora en UTC (Tiempo Universal Coordinado ⁴). |
| Latitud | Latitud del epicentro en grados decimales. |
| Longitud | Longitud del epicentro en grados decimales. |
| P | Profundidad focal en kilómetros. |
| n.º | Número de Estaciones utilizadas. |
| RMS (<i>Root-Mean-Square</i>) | <p>Error cuadrático medio de los residuales de tiempo en segundos</p> $\sqrt{\frac{1}{NO} \sum_{i=1}^{NO} Ri^2}$ <p>Donde Ri^2 es el residual de tiempo de la i-ésima estación.</p> |
| GAP | Separación azimutal (en grados) más larga entre las Estaciones. |
| Errx | <p>Error estándar del epicentro en kilómetros</p> $\sqrt{SDX^2 + SDY^2}$ <p>Donde SDX y SDY son los errores estándar de la latitud y de la longitud. Si Errx es un espacio en blanco, significa que no existen suficientes datos para calcularlo</p> |
| Errh | Error estándar de la profundidad en kilómetros. Si Errh es un espacio en blanco, significa que no existen suficientes datos para calcularlo |
| Mag | Magnitud Local o Magnitud de Coda (color azul) |
| Ubicación | Distancia del poblado más cercano. |

⁴ Para obtener la hora local restar 8 horas en invierno y 7 horas en verano

9 LISTADO DE EVENTOS REGISTRADOS POR RSC, SEPTIEMBRE 2023

Tabla 5.- Tabla de eventos registrados en Septiembre de 2023

| | Tiempo Origen | Latitud | Longitud | Prof | No | RMS | GAP | Errx | Errh | Mag | Ubicación |
|----|----------------|---------|----------|------|----|------|-----|------|------|-----|--|
| 1 | 9/1/2023 0:33 | 32.377 | -115.132 | 12 | 13 | 0.3 | 77 | 1.6 | 1.2 | 2.1 | 6.51 km al noreste de Delta |
| 2 | 9/1/2023 4:07 | 32.384 | -115.148 | 13 | 21 | 0.3 | 69 | 1.4 | 1.1 | 2.7 | 5.56 km al noreste de Delta |
| 3 | 9/1/2023 6:52 | 32.613 | -115.748 | 2 | 10 | 0.2 | 154 | 1.7 | 2.4 | 1.4 | 15.71 km al oeste de Progreso |
| 4 | 9/1/2023 8:03 | 32.381 | -115.128 | 13 | 13 | 0.3 | 81 | 1.7 | 1.2 | 1.8 | 7.03 km al noreste de Delta |
| 5 | 9/1/2023 8:18 | 32.016 | -115.051 | 10 | 6 | 0.3 | 89 | 2.8 | 3.4 | 1.6 | 20.28 km al sur de Estación Coahuila |
| 6 | 9/1/2023 8:27 | 32.046 | -115.066 | 6 | 9 | 0.3 | 87 | 1.9 | 2.7 | 2 | 17.51 km al sur de Estación Coahuila |
| 7 | 9/1/2023 9:07 | 32.039 | -115.023 | 8 | 6 | 0.1 | 86 | 1.6 | 1.3 | 1.3 | 17.27 km al sur de Estación Coahuila |
| 8 | 9/2/2023 4:14 | 32.379 | -115.138 | 11 | 15 | 0.3 | 72 | 1.3 | 0.9 | 1.8 | 6.08 km al noreste de Delta |
| 9 | 9/2/2023 4:14 | 32.383 | -115.137 | 11 | 15 | 0.3 | 76 | 1.4 | 1.1 | 2.3 | 6.37 km al noreste de Delta |
| 10 | 9/2/2023 5:24 | 32.487 | -115.612 | 8 | 17 | 0.4 | 91 | 2 | 2 | 1.8 | 10.69 km al sur de Progreso |
| 11 | 9/2/2023 10:07 | 31.702 | -115.899 | 5 | 6 | 0.2 | 151 | 2.3 | 1.1 | 1.5 | 36.64 km al norte de Valle de la Trinidad |
| 12 | 9/2/2023 10:28 | 32.383 | -115.124 | 12 | 7 | 0.2 | 133 | 1.9 | 1 | 1.6 | 7.46 km al noreste de Delta |
| 13 | 9/2/2023 12:37 | 31.348 | -115.408 | 6 | 7 | 0.2 | 144 | 1.7 | 1.6 | 2.2 | 35.39 km al este de Valle de la Trinidad |
| 14 | 9/3/2023 1:48 | 32.646 | -115.886 | 5 | 13 | 0.2 | 78 | 1.2 | 1.1 | 1.4 | 29.14 km al oeste de Progreso |
| 15 | 9/3/2023 3:20 | 32.851 | -115.892 | 0 | 4 | 0.13 | 149 | 0 | 1.03 | 0.8 | 41.59 km al noroeste de Progreso |
| 16 | 9/3/2023 10:17 | 30.404 | -114.88 | 5 | 4 | 0.2 | 142 | 2 | 1.4 | 1.9 | 69.13 km al sur de San Felipe |
| 17 | 9/3/2023 10:26 | 25.54 | -110.067 | 9 | 7 | 0.1 | 99 | 1.9 | 1.3 | 3.4 | 90.06 km al suroeste de Higuera de Zaragoza |
| 18 | 9/3/2023 13:57 | 32.369 | -115.252 | 8 | 6 | 0.3 | 154 | 3.1 | 2.4 | 1.6 | 5.47 km al oeste de Delta |
| 19 | 9/3/2023 21:03 | 32.648 | -116.293 | 9 | 11 | 0.2 | 126 | 1.3 | 1.5 | 1.6 | 32.38 km al este de Tecate |
| 20 | 9/3/2023 21:36 | 32.602 | -117.083 | 10 | 9 | 0.1 | 175 | 1.4 | 1.1 | 1.2 | 13.31 km al noroeste de Tijuana |
| 21 | 9/4/2023 0:21 | 30.885 | -116.303 | 3 | 8 | 0.2 | 207 | 3.3 | 1.9 | 1.9 | 23.37 km al oeste de Camalú |
| 22 | 9/4/2023 6:55 | 31.805 | -116.104 | 5 | 7 | 0.2 | 123 | 2.2 | 1.2 | 1.7 | 41.3 km al este de Benito García (El Zorrillo) |
| 23 | 9/4/2023 8:29 | 31.545 | -115.68 | 5 | 5 | 0.1 | 193 | 2.3 | 0.8 | 1.3 | 19.64 km al noreste de Valle de la Trinidad |
| 24 | 9/4/2023 8:34 | 31.439 | -114.32 | 18 | 6 | 0.1 | 157 | 1.5 | 1.9 | 2 | 67.52 km al noreste de San Felipe |

| | | | | | | | | | | | |
|----|----------------|--------|----------|----|----|------|-----|-----|------|-----|--|
| 25 | 9/4/2023 11:48 | 31.474 | -115.671 | 5 | 4 | 0.1 | 194 | 4.8 | 2.8 | 1.2 | 13.83 km al noreste de Valle de la Trinidad |
| 26 | 9/4/2023 12:54 | 31.177 | -115.959 | 5 | 3 | 0 | 173 | 2.1 | 1 | 1 | 29.22 km al suroeste de Valle de la Trinidad |
| 27 | 9/4/2023 12:56 | 30.845 | -116.54 | 15 | 6 | 0.2 | 235 | 3 | 2 | 2 | 45.51 km al oeste de Camalú |
| 28 | 9/4/2023 22:37 | 31.584 | -115.701 | 6 | 5 | 0.1 | 189 | 2.7 | 1 | 2.1 | 22.85 km al norte de Valle de la Trinidad |
| 29 | 9/5/2023 3:30 | 31.527 | -115.647 | 5 | 5 | 0.2 | 198 | 3 | 1.1 | 1.5 | 19.7 km al noreste de Valle de la Trinidad |
| 30 | 9/5/2023 4:50 | 31.537 | -115.658 | 4 | 6 | 0.3 | 131 | 4 | 2.1 | 1.7 | 19.97 km al noreste de Valle de la Trinidad |
| 31 | 9/5/2023 8:07 | 32.652 | -115.739 | 5 | 14 | 0.2 | 53 | 1.2 | 1 | 1.3 | 16.49 km al noroeste de Progreso |
| 32 | 9/5/2023 9:58 | 32.892 | -116.27 | 5 | 4 | 0.28 | 127 | 0 | 0.84 | 0.7 | 49.05 km al noreste de Tecate |
| 33 | 9/5/2023 11:56 | 23.293 | -109.604 | 10 | 4 | 0.3 | 360 | 7.6 | 4.4 | 2.7 | 27.74 km al norte de San José del Cabo |
| 34 | 9/5/2023 13:02 | 31.634 | -114.467 | 20 | 7 | 0.2 | 130 | 1.6 | 2.9 | 2.7 | 76.42 km al noreste de San Felipe |
| 35 | 9/5/2023 13:09 | 31.525 | -115.641 | 5 | 6 | 0.1 | 103 | 1.1 | 0.9 | 1.2 | 19.9 km al noreste de Valle de la Trinidad |
| 36 | 9/5/2023 16:34 | 30.772 | -116.46 | 11 | 9 | 0.2 | 236 | 2.6 | 2 | 2.7 | 38.68 km al oeste de Camalú |
| 37 | 9/5/2023 19:30 | 32.613 | -116.969 | 0 | 5 | 0.2 | 231 | 2.9 | 1.4 | 0.7 | 12.69 km al norte de Tijuana |
| 38 | 9/5/2023 19:58 | 31.129 | -115.451 | 11 | 5 | 0.1 | 117 | 2 | 1.8 | 1.6 | 42.43 km al sureste de Valle de la Trinidad |
| 39 | 9/5/2023 19:58 | 31.177 | -115.506 | 5 | 4 | 0.13 | 203 | 0 | 1.23 | 1.3 | 34.94 km al sureste de Valle de la Trinidad |
| 40 | 9/5/2023 20:20 | 31.35 | -115.399 | 5 | 10 | 0.2 | 67 | 1.4 | 1.3 | 2.6 | 36.21 km al este de Valle de la Trinidad |
| 41 | 9/6/2023 2:41 | 31.15 | -115.99 | 5 | 5 | 0.1 | 142 | 1.3 | 1.2 | 1.2 | 33.39 km al suroeste de Valle de la Trinidad |
| 42 | 9/6/2023 8:12 | 30.775 | -116.467 | 3 | 7 | 0.2 | 236 | 3.4 | 2.3 | 2.2 | 39.27 km al oeste de Camalú |
| 43 | 9/6/2023 8:13 | 31.57 | -115.703 | 5 | 6 | 0.1 | 100 | 1.2 | 0.8 | 1.6 | 21.31 km al norte de Valle de la Trinidad |
| 44 | 9/6/2023 8:57 | 30.784 | -116.455 | 14 | 7 | 0.2 | 234 | 3 | 2.2 | 1.9 | 37.96 km al oeste de Camalú |
| 45 | 9/6/2023 11:56 | 31.531 | -115.631 | 16 | 9 | 0.2 | 71 | 1.7 | 1.1 | 2.2 | 21.02 km al noreste de Valle de la Trinidad |
| 46 | 9/6/2023 12:38 | 31.526 | -115.629 | 5 | 5 | 0.1 | 138 | 1.9 | 1.1 | 1.5 | 20.74 km al noreste de Valle de la Trinidad |
| 47 | 9/6/2023 12:45 | 31.52 | -115.643 | 5 | 6 | 0.1 | 102 | 1.2 | 0.8 | 1.5 | 19.35 km al noreste de Valle de la Trinidad |
| 48 | 9/6/2023 12:46 | 31.53 | -115.633 | 5 | 6 | 0.1 | 104 | 0.8 | 0.6 | 1.4 | 20.81 km al noreste de Valle de la Trinidad |

| | | | | | | | | | | | |
|----|----------------|--------|----------|----|----|------|-----|-----|------|-----|--|
| 49 | 9/6/2023 13:55 | 24.704 | -109.201 | 14 | 4 | 0.1 | 149 | 2.1 | 3.7 | 3.5 | 100.84 km al sur de Topolobampo |
| 50 | 9/6/2023 13:56 | 32.922 | -116.228 | 6 | 5 | 0.12 | 140 | 0 | 0.45 | 0.8 | 54.2 km al noreste de Tecate |
| 51 | 9/6/2023 14:33 | 31.517 | -115.637 | 5 | 4 | 0.1 | 169 | 3.8 | 2.7 | 1.4 | 19.49 km al noreste de Valle de la Trinidad |
| 52 | 9/6/2023 18:41 | 31.523 | -115.651 | 5 | 7 | 0.2 | 82 | 1.3 | 0.9 | 1.6 | 19.12 km al noreste de Valle de la Trinidad |
| 53 | 9/6/2023 19:05 | 31.515 | -115.646 | 5 | 7 | 0.2 | 101 | 1.3 | 1 | 1.3 | 18.75 km al noreste de Valle de la Trinidad |
| 54 | 9/6/2023 19:15 | 31.401 | -114.36 | 5 | 4 | 0.1 | 161 | 1.2 | 2.2 | 1.7 | 61.87 km al noreste de San Felipe |
| 55 | 9/6/2023 19:35 | 31.516 | -115.612 | 5 | 3 | 0.1 | 165 | 3.3 | 2.4 | 1.2 | 21.11 km al noreste de Valle de la Trinidad |
| 56 | 9/6/2023 22:49 | 30.592 | -116.235 | 4 | 10 | 0.2 | 225 | 3 | 3.1 | 2.6 | 28.01 km al suroeste de Vicente Guerrero |
| 57 | 9/7/2023 1:05 | 31.369 | -114.353 | 14 | 7 | 0.3 | 157 | 1.7 | 2.9 | 2.2 | 60.04 km al noreste de San Felipe |
| 58 | 9/7/2023 1:51 | 32.211 | -115.261 | 6 | 11 | 0.2 | 107 | 1.9 | 1.1 | 2.2 | 8.95 km al oeste de Doctor Alberto Oviedo Mota |
| 59 | 9/7/2023 3:34 | 31.538 | -115.607 | 5 | 8 | 0.2 | 73 | 1.5 | 1.1 | 1.9 | 23.14 km al noreste de Valle de la Trinidad |
| 60 | 9/7/2023 7:07 | 31.076 | -115.412 | 12 | 5 | 0.3 | 181 | 2.9 | 2.3 | 1 | 49.2 km al sureste de Valle de la Trinidad |
| 61 | 9/7/2023 7:48 | 31.448 | -115.341 | 6 | 9 | 0.3 | 80 | 2 | 1.7 | 2 | 41.94 km al este de Valle de la Trinidad |
| 62 | 9/7/2023 7:58 | 32.204 | -115.254 | 5 | 8 | 0.3 | 106 | 1.6 | 1 | 1.6 | 8.51 km al oeste de Doctor Alberto Oviedo Mota |
| 63 | 9/7/2023 12:38 | 31.449 | -115.336 | 5 | 5 | 0.1 | 114 | 3.1 | 1.4 | 1.4 | 42.43 km al este de Valle de la Trinidad |
| 64 | 9/7/2023 12:49 | 31.409 | -115.399 | 5 | 5 | 0.3 | 116 | 2.1 | 1.6 | 1 | 36 km al este de Valle de la Trinidad |
| 65 | 9/7/2023 17:04 | 32.388 | -115.253 | 11 | 8 | 0.2 | 122 | 1.7 | 2.4 | 1.6 | 6.48 km al noroeste de Delta |
| 66 | 9/7/2023 18:28 | 31.873 | -115.694 | 6 | 7 | 0.3 | 80 | 2 | 1.6 | 1.8 | 54.38 km al norte de Valle de la Trinidad |
| 67 | 9/8/2023 0:30 | 32.81 | -115.635 | 12 | 12 | 0.3 | 81 | 1.7 | 1.5 | 2.1 | 25.96 km al norte de Progreso |
| 68 | 9/8/2023 2:21 | 31.906 | -116.077 | 10 | 8 | 0.2 | 60 | 1.4 | 1.1 | 1.6 | 48.66 km al noreste de Benito García (El Zorrillo) |
| 69 | 9/8/2023 3:10 | 30.844 | -114.192 | 9 | 8 | 0.1 | 146 | 1.1 | 1.7 | 2.6 | 64.91 km al este de San Felipe |
| 70 | 9/8/2023 3:34 | 30.426 | -114.95 | 5 | 5 | 0.2 | 139 | 2.3 | 1.8 | 1.5 | 67.41 km al sur de San Felipe |
| 71 | 9/8/2023 5:59 | 33.251 | -116.8 | 2 | 21 | 0.21 | 252 | 0 | 0.84 | 2.8 | 77.79 km al norte de Tecate |
| 72 | 9/8/2023 6:09 | 32.409 | -115.216 | 9 | 11 | 0.3 | 95 | 1.6 | 1.6 | 2 | 6.29 km al norte de Delta |
| 73 | 9/8/2023 9:53 | 30.935 | -115.076 | 4 | 8 | 0.3 | 91 | 1.5 | 1.9 | 2 | 24.68 km al suroeste de San Felipe |

| | | | | | | | | | | | |
|----|-----------------|--------|----------|----|----|------|-----|------|------|-----|---|
| 74 | 9/8/2023 19:08 | 31.524 | -115.636 | 3 | 7 | 0.2 | 120 | 2.6 | 1.7 | 1.4 | 20.13 km al noreste de Valle de la Trinidad |
| 75 | 9/8/2023 19:19 | 31.518 | -115.649 | 5 | 4 | 0.1 | 171 | 2.8 | 2.7 | 1 | 18.81 km al noreste de Valle de la Trinidad |
| 76 | 9/8/2023 20:01 | 31.517 | -115.638 | 6 | 6 | 0.2 | 102 | 1.3 | 0.9 | 1.5 | 19.42 km al noreste de Valle de la Trinidad |
| 77 | 9/8/2023 20:02 | 31.515 | -115.644 | 6 | 5 | 0.2 | 140 | 5.3 | 1.9 | 1.3 | 18.87 km al noreste de Valle de la Trinidad |
| 78 | 9/9/2023 0:23 | 31.524 | -115.638 | 5 | 6 | 0.1 | 103 | 1.1 | 0.8 | 1.9 | 20 km al noreste de Valle de la Trinidad |
| 79 | 9/9/2023 1:18 | 31.52 | -115.646 | 5 | 5 | 0.1 | 140 | 2.5 | 1.2 | 1.5 | 19.17 km al noreste de Valle de la Trinidad |
| 80 | 9/9/2023 3:30 | 32.005 | -114.827 | 20 | 10 | 0.3 | 134 | 7.9 | 2.1 | 2.2 | 26.47 km al sureste de Estación Coahuila |
| 81 | 9/9/2023 6:28 | 31.748 | -116.128 | 5 | 7 | 0.1 | 121 | 1.4 | 1.1 | 2.1 | 37.26 km al este de Benito García (El Zorrillo) |
| 82 | 9/9/2023 9:29 | 32.326 | -115.125 | 7 | 5 | 0.2 | 116 | 2.6 | 2.8 | 1.2 | 4.49 km al noroeste de Guadalupe Victoria |
| 83 | 9/9/2023 10:58 | 31.185 | -115.935 | 5 | 5 | 0.2 | 126 | 1.6 | 1.4 | 0.7 | 27.19 km al suroeste de Valle de la Trinidad |
| 84 | 9/9/2023 12:14 | 32.304 | -115.323 | 8 | 8 | 0.3 | 139 | 2.2 | 1.4 | 2.1 | 13.2 km al suroeste de Delta |
| 85 | 9/9/2023 12:58 | 31.356 | -115.552 | 5 | 5 | 0.2 | 102 | 1.5 | 1.8 | 1.5 | 21.73 km al este de Valle de la Trinidad |
| 86 | 9/9/2023 21:35 | 32.043 | -116.196 | 17 | 19 | 0.4 | 68 | 1.7 | 1.6 | 2.9 | 42.68 km al noreste de Ensenada |
| 87 | 9/9/2023 23:19 | 32.051 | -116.188 | 10 | 9 | 0.2 | 116 | 1 | 1.1 | 1.8 | 43.75 km al noreste de Ensenada |
| 88 | 9/10/2023 0:10 | 31.559 | -115.673 | 5 | 8 | 0.3 | 69 | 1.8 | 1.5 | 1.8 | 21.33 km al noreste de Valle de la Trinidad |
| 89 | 9/10/2023 2:14 | 32.92 | -115.572 | 6 | 4 | 0.15 | 131 | 0 | 0.63 | 1.7 | 34.35 km al norte de Mexicali |
| 90 | 9/10/2023 7:42 | 32.427 | -115.593 | 3 | 8 | 0.3 | 115 | 2.8 | 1.7 | 1.6 | 17.07 km al sur de Progreso |
| 91 | 9/10/2023 11:05 | 25.172 | -110.312 | 10 | 5 | 0.3 | 206 | 29.8 | 12.9 | 2.6 | 114.27 km al norte de La Paz |
| 92 | 9/10/2023 12:20 | 31.609 | -115.963 | 5 | 8 | 0.2 | 80 | 2.2 | 1.1 | 1.8 | 30.11 km al noroeste de Valle de la Trinidad |
| 93 | 9/10/2023 12:43 | 31.243 | -115.676 | 5 | 7 | 0.2 | 87 | 2.2 | 1.6 | 1.5 | 18.9 km al sureste de Valle de la Trinidad |
| 94 | 9/10/2023 13:47 | 32.052 | -116.196 | 5 | 13 | 0.1 | 88 | 1 | 1 | 1.7 | 43.13 km al noreste de Ensenada |
| 95 | 9/10/2023 14:01 | 32.048 | -116.183 | 20 | 10 | 0.3 | 75 | 2.6 | 1.7 | 1.8 | 44.02 km al noreste de Ensenada |
| 96 | 9/10/2023 14:34 | 31.221 | -115.622 | 5 | 7 | 0.2 | 84 | 1.6 | 1.3 | 1.9 | 23.84 km al sureste de Valle de la Trinidad |

| | | | | | | | | | | | |
|-----|-----------------|--------|----------|----|----|-----|-----|-----|-----|-----|--|
| 97 | 9/10/2023 21:16 | 30.511 | -116.205 | 20 | 4 | 0.2 | 281 | 6.1 | 6.3 | 1.8 | 25.54 km al oeste de San Quintín |
| 98 | 9/10/2023 23:40 | 32.306 | -115.357 | 13 | 7 | 0.2 | 82 | 2.7 | 1.7 | 1.5 | 16.06 km al oeste de Delta |
| 99 | 9/11/2023 2:55 | 31.504 | -115.572 | 5 | 6 | 0.2 | 107 | 1.2 | 0.8 | 1.1 | 23.31 km al noreste de Valle de la Trinidad |
| 100 | 9/11/2023 4:08 | 31.543 | -115.673 | 5 | 6 | 0.1 | 101 | 1.2 | 0.8 | 1.7 | 19.77 km al noreste de Valle de la Trinidad |
| 101 | 9/11/2023 6:01 | 28.808 | -115.188 | 11 | 5 | 0 | 214 | 4.1 | 3.4 | 2.4 | 181.63 km al oeste de Santa Isabel |
| 102 | 9/11/2023 7:02 | 30.786 | -115.261 | 6 | 8 | 0.2 | 194 | 1.3 | 1.4 | 2.5 | 48.21 km al suroeste de San Felipe |
| 103 | 9/11/2023 8:25 | 30.791 | -115.286 | 4 | 5 | 0.1 | 231 | 2.3 | 1.6 | 1.1 | 49.92 km al suroeste de San Felipe |
| 104 | 9/11/2023 9:09 | 30.557 | -116.201 | 0 | 5 | 0.4 | 254 | 4.8 | 5 | 1 | 24.55 km al oeste de San Quintín |
| 105 | 9/11/2023 10:00 | 30.403 | -114.882 | 10 | 7 | 0.1 | 142 | 1.5 | 1 | 1.3 | 69.25 km al sur de San Felipe |
| 106 | 9/11/2023 14:12 | 30.618 | -114.136 | 5 | 7 | 0.1 | 165 | 2.9 | 1.3 | 2.3 | 80.96 km al sureste de San Felipe |
| 107 | 9/11/2023 20:32 | 31.564 | -116.061 | 5 | 8 | 0.2 | 73 | 1.7 | 1.2 | 2 | 33.17 km al noroeste de Valle de la Trinidad |
| 108 | 9/12/2023 10:48 | 32.632 | -117.099 | 5 | 20 | 0.3 | 137 | 1.8 | 1.1 | 2.2 | 16.92 km al noroeste de Tijuana |
| 109 | 9/12/2023 13:32 | 32.318 | -115.201 | 12 | 10 | 0.3 | 97 | 2 | 1.3 | 1.8 | 4.14 km al sur de Delta |
| 110 | 9/12/2023 18:11 | 31.425 | -115.413 | 5 | 8 | 0.2 | 106 | 1.3 | 1 | 1.9 | 34.83 km al este de Valle de la Trinidad |
| 111 | 9/12/2023 20:47 | 31.258 | -115.756 | 6 | 4 | 0.1 | 159 | 2.1 | 1.2 | 1.5 | 14.73 km al sur de Valle de la Trinidad |
| 112 | 9/13/2023 0:04 | 27.728 | -111.659 | 2 | 4 | 0.1 | 156 | 4.5 | 2.3 | 3 | 73.88 km al noreste de Santa Rosalía |
| 113 | 9/13/2023 3:43 | 27.294 | -111.447 | 18 | 6 | 0.2 | 94 | 1.7 | 1.6 | 2.9 | 81.24 km al este de Santa Rosalía |
| 114 | 9/13/2023 3:50 | 27.362 | -111.464 | 23 | 6 | 0.2 | 90 | 1.6 | 1.4 | 2.8 | 79.4 km al este de Santa Rosalía |
| 115 | 9/13/2023 3:54 | 27.346 | -111.472 | 15 | 7 | 0.2 | 91 | 1.9 | 1.6 | 3.5 | 78.59 km al este de Santa Rosalía |
| 116 | 9/13/2023 4:28 | 27.419 | -111.492 | 10 | 7 | 0.2 | 87 | 2.1 | 2 | 3.1 | 77.08 km al este de Santa Rosalía |
| 117 | 9/13/2023 6:29 | 30.887 | -115.771 | 8 | 7 | 0.1 | 122 | 2 | 1.4 | 1.5 | 26.63 km al noreste de Emiliano Zapata |
| 118 | 9/13/2023 7:07 | 31.446 | -115.336 | 5 | 7 | 0.2 | 113 | 1.1 | 1 | 1.6 | 42.38 km al este de Valle de la Trinidad |
| 119 | 9/13/2023 7:26 | 31.188 | -115.855 | 5 | 8 | 0.3 | 113 | 2.4 | 1.5 | 1.6 | 23.55 km al sur de Valle de la Trinidad |

| | | | | | | | | | | | |
|-----|-----------------|--------|----------|----|----|------|-----|-----|------|-----|--|
| 120 | 9/13/2023 8:12 | 32.224 | -115.308 | 8 | 7 | 0.3 | 92 | 2.6 | 2.1 | 1.6 | 13.18 km al oeste de Doctor Alberto Oviedo Mota |
| 121 | 9/13/2023 18:24 | 30.464 | -114.027 | 5 | 6 | 0.2 | 184 | 6.3 | 2.1 | 2 | 99.56 km al sureste de San Felipe |
| 122 | 9/13/2023 22:35 | 30.893 | -115.763 | 5 | 3 | 0.2 | 138 | 4.5 | 3.1 | 0.9 | 27.64 km al noreste de Emiliano Zapata |
| 123 | 9/14/2023 2:18 | 31.483 | -115.641 | 5 | 4 | 0.1 | 141 | 1.7 | 1.3 | 1.2 | 16.63 km al noreste de Valle de la Trinidad |
| 124 | 9/14/2023 3:19 | 31.461 | -115.488 | 5 | 5 | 0.1 | 123 | 1.4 | 0.9 | 1.5 | 28.61 km al este de Valle de la Trinidad |
| 125 | 9/14/2023 4:51 | 27.939 | -112.116 | 9 | 6 | 0.2 | 119 | 1.9 | 1.4 | 2.7 | 68.21 km al norte de Santa Rosalía |
| 126 | 9/14/2023 5:04 | 28.061 | -112.224 | 10 | 4 | 0.1 | 193 | 3.7 | 1.1 | 2.5 | 80.24 km al norte de Santa Rosalía |
| 127 | 9/14/2023 5:21 | 31.458 | -115.659 | 5 | 6 | 0.2 | 93 | 1.4 | 1 | 1.3 | 13.61 km al noreste de Valle de la Trinidad |
| 128 | 9/14/2023 6:34 | 30.51 | -114.452 | 14 | 7 | 0.2 | 136 | 3.1 | 1.6 | 2 | 68.15 km al sureste de San Felipe |
| 129 | 9/14/2023 7:32 | 28.014 | -112.153 | 12 | 10 | 0.3 | 84 | 3.1 | 1.7 | 4 | 75.74 km al norte de Santa Rosalía |
| 130 | 9/14/2023 8:26 | 31.494 | -115.643 | 5 | 6 | 0.2 | 99 | 2.4 | 1.4 | 1.5 | 17.29 km al noreste de Valle de la Trinidad |
| 131 | 9/14/2023 9:14 | 31.072 | -116.002 | 5 | 5 | 0.2 | 155 | 2.7 | 1.5 | 0.9 | 26.21 km al norte de Camalú |
| 132 | 9/14/2023 10:41 | 30.873 | -115.183 | 6 | 6 | 0.2 | 184 | 1.6 | 2 | 1.3 | 36.87 km al suroeste de San Felipe |
| 133 | 9/14/2023 14:41 | 30.886 | -115.182 | 0 | 4 | 0 | 232 | 1.7 | 3.1 | 1.2 | 36.14 km al suroeste de San Felipe |
| 134 | 9/14/2023 17:51 | 31.19 | -115.928 | 5 | 6 | 0.2 | 124 | 1.9 | 1.6 | 1.6 | 26.36 km al suroeste de Valle de la Trinidad |
| 135 | 9/14/2023 21:11 | 31.869 | -115.713 | 0 | 8 | 0.3 | 96 | 2.2 | 2.1 | 2.4 | 53.7 km al norte de Valle de la Trinidad |
| 136 | 9/14/2023 21:32 | 31.696 | -115.892 | 5 | 7 | 0.2 | 93 | 1.8 | 1.1 | 1.7 | 35.8 km al norte de Valle de la Trinidad |
| 137 | 9/14/2023 21:43 | 25.55 | -110.221 | 16 | 7 | 0.1 | 164 | 2.9 | 2.5 | 3.5 | 102.95 km al suroeste de Higuera de Zaragoza |
| 138 | 9/15/2023 9:11 | 32.392 | -115.112 | 12 | 14 | 0.3 | 73 | 1.7 | 1 | 1.8 | 8.91 km al noreste de Delta |
| 139 | 9/15/2023 10:40 | 31.266 | -115.633 | 5 | 6 | 0.1 | 81 | 1.2 | 1.4 | 1 | 19.4 km al sureste de Valle de la Trinidad |
| 140 | 9/15/2023 17:12 | 31.83 | -116.142 | 7 | 10 | 0.3 | 71 | 1.6 | 1.5 | 1.7 | 39.14 km al noreste de Benito García (El Zorrillo) |
| 141 | 9/15/2023 17:12 | 31.814 | -116.15 | 5 | 5 | 0.35 | 200 | 0 | 1.48 | 1.3 | 37.66 km al noreste de Benito García (El Zorrillo) |
| 142 | 9/15/2023 19:38 | 32.619 | -116.957 | 0 | 7 | 0.2 | 225 | 2.1 | 1.3 | 1.2 | 13.65 km al norte de Tijuana |

| | | | | | | | | | | | |
|-----|-----------------|--------|----------|----|----|------|-----|-----|------|-----|---|
| 143 | 9/16/2023 1:42 | 31.735 | -116.226 | 5 | 8 | 0.2 | 90 | 2 | 1.1 | 2 | 27.92 km al este de Benito García (El Zorrillo) |
| 144 | 9/16/2023 6:39 | 31.558 | -115.691 | 4 | 4 | 0.1 | 145 | 1.6 | 1 | 0.7 | 20.49 km al noreste de Valle de la Trinidad |
| 145 | 9/16/2023 7:07 | 31.543 | -115.676 | 5 | 8 | 0.1 | 68 | 1.3 | 1 | 1.2 | 19.63 km al noreste de Valle de la Trinidad |
| 146 | 9/16/2023 7:50 | 30.553 | -116.2 | 1 | 7 | 0.2 | 243 | 2.3 | 2.8 | 1.7 | 24.47 km al oeste de San Quintín |
| 147 | 9/16/2023 9:40 | 30.771 | -114.151 | 4 | 7 | 0.2 | 155 | 1.4 | 2.2 | 2.1 | 71.47 km al sureste de San Felipe |
| 148 | 9/16/2023 10:17 | 32.826 | -115.636 | 6 | 4 | 0.58 | 146 | 0 | 1.9 | 1.2 | 27.75 km al norte de Progreso |
| 149 | 9/16/2023 11:42 | 32.845 | -116.185 | 5 | 5 | 0.32 | 140 | 0 | 1.04 | 0.7 | 51.46 km al noreste de Tecate |
| 150 | 9/16/2023 14:28 | 32.927 | -116.23 | 5 | 12 | 0.34 | 91 | 0 | 0.74 | 2.1 | 54.49 km al noreste de Tecate |
| 151 | 9/16/2023 17:29 | 27.673 | -111.678 | 20 | 4 | 0.1 | 162 | 3.3 | 5.3 | 2.7 | 68.91 km al noreste de Santa Rosalía |
| 152 | 9/17/2023 2:12 | 32.982 | -116.297 | 5 | 7 | 0.1 | 99 | 1.5 | 1.3 | 0.8 | 55.39 km al noreste de Tecate |
| 153 | 9/17/2023 6:55 | 32.617 | -115.741 | 3 | 4 | 0.1 | 256 | 2.5 | 2.2 | 0.7 | 15.19 km al oeste de Progreso |
| 154 | 9/17/2023 11:05 | 31.297 | -115.722 | 5 | 5 | 0.1 | 88 | 1.1 | 1 | 0.4 | 11.53 km al sureste de Valle de la Trinidad |
| 155 | 9/17/2023 12:35 | 31.142 | -116.024 | 5 | 5 | 0.2 | 150 | 1.6 | 1.5 | 1.2 | 33.54 km al norte de Camalú |
| 156 | 9/17/2023 13:40 | 31.343 | -115.623 | 5 | 4 | 0.1 | 141 | 2.7 | 1.8 | 0.8 | 15.55 km al este de Valle de la Trinidad |
| 157 | 9/17/2023 14:18 | 31.092 | -115.444 | 5 | 4 | 0.1 | 161 | 4.9 | 3.3 | 0.8 | 45.8 km al sureste de Valle de la Trinidad |
| 158 | 9/17/2023 16:22 | 26.253 | -110.62 | 22 | 10 | 0.2 | 90 | 2.1 | 1.4 | 3.9 | 77.53 km al este de Loreto |
| 159 | 9/17/2023 16:22 | 25.844 | -112.139 | 6 | 4 | 0.81 | 248 | 0 | 5.35 | 4 | 74.22 km al noroeste de Ciudad Insurgentes |
| 160 | 9/17/2023 16:52 | 31.524 | -115.616 | 5 | 5 | 0.1 | 126 | 1.9 | 1.1 | 1.3 | 21.44 km al noreste de Valle de la Trinidad |
| 161 | 9/18/2023 5:02 | 32.572 | -115.689 | 4 | 8 | 0.2 | 124 | 1.9 | 1 | 1.3 | 9.81 km al oeste de Progreso |
| 162 | 9/18/2023 8:17 | 31.451 | -114.336 | 4 | 7 | 0.2 | 149 | 1.3 | 2.5 | 1.4 | 67.35 km al noreste de San Felipe |
| 163 | 9/18/2023 8:29 | 31.416 | -114.332 | 11 | 8 | 0.2 | 132 | 1.4 | 1.6 | 1.7 | 64.96 km al noreste de San Felipe |
| 164 | 9/18/2023 15:38 | 31.558 | -115.669 | 5 | 9 | 0.2 | 103 | 2.1 | 1 | 1.8 | 21.41 km al noreste de Valle de la Trinidad |
| 165 | 9/18/2023 19:12 | 31.44 | -115.672 | 5 | 6 | 0.1 | 89 | 1.1 | 0.9 | 2.1 | 11.5 km al noreste de Valle de la Trinidad |
| 166 | 9/18/2023 19:12 | 31.442 | -115.606 | 20 | 6 | 0.1 | 95 | 2.8 | 1.5 | 1.4 | 17.31 km al este de Valle de la Trinidad |
| 167 | 9/18/2023 19:57 | 32.554 | -115.737 | 9 | 9 | 0.5 | 89 | 5 | 3.2 | 1.6 | 14.56 km al oeste de Progreso |

| | | | | | | | | | | | |
|-----|-----------------|--------|----------|----|----|------|-----|-----|------|-----|---|
| 168 | 9/18/2023 22:27 | 30.502 | -114.474 | 4 | 6 | 0.2 | 134 | 3.1 | 1.5 | 3 | 67.79 km al sureste de San Felipe |
| 169 | 9/19/2023 1:50 | 24.711 | -109.243 | 11 | 4 | 0.2 | 149 | 2.3 | 3 | 2.9 | 100.79 km al sur de Topolobampo |
| 170 | 9/19/2023 4:43 | 30.683 | -117.016 | 10 | 7 | 0.1 | 277 | 2.5 | 1.7 | 2.1 | 92.74 km al oeste de Camalú |
| 171 | 9/19/2023 10:25 | 24.543 | -109.264 | 9 | 4 | 0.1 | 140 | 4.2 | 4.9 | 2.8 | 113.98 km al noreste de La Paz |
| 172 | 9/20/2023 1:35 | 32.57 | -115.692 | 5 | 10 | 0.2 | 167 | 1.5 | 0.8 | 1.6 | 10.11 km al oeste de Progreso |
| 173 | 9/20/2023 4:56 | 31.402 | -115.382 | 5 | 7 | 0.1 | 115 | 1.1 | 1.1 | 1.4 | 37.57 km al este de Valle de la Trinidad |
| 174 | 9/20/2023 21:48 | 32.919 | -116.933 | 0 | 4 | 0.32 | 217 | 0 | 1.25 | 1.3 | 46.78 km al norte de Tijuana |
| 175 | 9/21/2023 0:57 | 32.684 | -116.088 | 9 | 8 | 0.2 | 85 | 1.2 | 1.2 | 1.3 | 48.51 km al oeste de Progreso |
| 176 | 9/21/2023 9:15 | 32.091 | -116.385 | 12 | 9 | 0.1 | 93 | 0.9 | 0.9 | 1.5 | 31.78 km al noreste de Ensenada |
| 177 | 9/21/2023 10:12 | 30.835 | -114.186 | 10 | 7 | 0.1 | 217 | 1 | 2.7 | 2 | 65.78 km al este de San Felipe |
| 178 | 9/21/2023 11:54 | 31.396 | -114.323 | 17 | 7 | 0.2 | 162 | 1.3 | 2.5 | 1.7 | 64.15 km al noreste de San Felipe |
| 179 | 9/21/2023 13:41 | 30.613 | -117.113 | 15 | 8 | 0.1 | 285 | 3.1 | 2.1 | 2.1 | 103.52 km al oeste de Camalú |
| 180 | 9/21/2023 15:11 | 31.535 | -115.683 | 5 | 6 | 0.2 | 123 | 1.9 | 1 | 0.9 | 18.53 km al noreste de Valle de la Trinidad |
| 181 | 9/22/2023 1:06 | 31.537 | -115.668 | 5 | 8 | 0.1 | 85 | 1.8 | 0.8 | 1.4 | 19.45 km al noreste de Valle de la Trinidad |
| 182 | 9/22/2023 5:33 | 32.073 | -115.131 | 5 | 13 | 0.4 | 116 | 1.9 | 1.9 | 2.1 | 17.53 km al sur de Doctor Alberto Oviedo Mota |
| 183 | 9/22/2023 10:22 | 30.994 | -116.569 | 2 | 9 | 0.2 | 225 | 2.6 | 1.6 | 1.7 | 51.11 km al oeste de Camalú |
| 184 | 9/22/2023 15:08 | 32.322 | -115.307 | 7 | 13 | 0.2 | 75 | 1.5 | 1 | 2.2 | 11.04 km al oeste de Delta |
| 185 | 9/22/2023 18:33 | 32.92 | -115.585 | 5 | 7 | 0.22 | 133 | 0 | 0.48 | 1.6 | 34.68 km al norte de Mexicali |
| 186 | 9/22/2023 20:38 | 32.311 | -116.333 | 14 | 20 | 0.2 | 60 | 0.8 | 0.9 | 2.4 | 39.53 km al sureste de Tecate |
| 187 | 9/23/2023 4:27 | 32.046 | -116.303 | 14 | 18 | 0.3 | 81 | 1.3 | 1 | 2.1 | 34.14 km al noreste de Ensenada |
| 188 | 9/23/2023 7:19 | 30.463 | -114.985 | 5 | 8 | 0.2 | 137 | 1.8 | 1.4 | 1.4 | 63.99 km al sur de San Felipe |
| 189 | 9/23/2023 10:53 | 31.305 | -115.645 | 12 | 7 | 0.2 | 79 | 1.3 | 1.1 | 1 | 15.69 km al sureste de Valle de la Trinidad |
| 190 | 9/23/2023 20:03 | 30.78 | -114.829 | 0 | 4 | 0.1 | 262 | 5.9 | 3.2 | 1.6 | 27.22 km al sur de San Felipe |
| 191 | 9/23/2023 22:34 | 32.505 | -116.728 | 0 | 11 | 0.3 | 158 | 1.6 | 0.9 | 1.4 | 1.01 km al este de Villa del Campo |
| 192 | 9/24/2023 0:43 | 30.85 | -116.331 | 4 | 6 | 0.1 | 215 | 3.2 | 1.9 | 1.2 | 25.57 km al oeste de Camalú |
| 193 | 9/24/2023 5:34 | 31.386 | -114.33 | 10 | 8 | 0.2 | 142 | 1 | 2.3 | 1.9 | 62.92 km al noreste de San Felipe |
| 194 | 9/24/2023 11:00 | 27.536 | -112.521 | 2 | 5 | 0.1 | 151 | 2 | 1.7 | 3 | 33.14 km al noroeste de Santa Rosalía |

| | | | | | | | | | | | |
|-----|-----------------|--------|----------|----|----|-----|-----|-----|-----|-----|--|
| 195 | 9/24/2023 15:24 | 30.501 | -116.207 | 19 | 5 | 0.2 | 283 | 3.6 | 4.9 | 1.5 | 25.99 km al oeste de San Quintín |
| 196 | 9/25/2023 1:08 | 31.561 | -115.601 | 10 | 5 | 0.2 | 212 | 1.6 | 2.3 | 1.3 | 25.4 km al noreste de Valle de la Trinidad |
| 197 | 9/25/2023 1:19 | 31.727 | -116.212 | 5 | 11 | 0.2 | 89 | 1.4 | 1 | 1.6 | 29 km al este de Benito García (El Zorrillo) |
| 198 | 9/25/2023 3:26 | 31.202 | -115.58 | 1 | 7 | 0.3 | 89 | 1.8 | 1.4 | 1.4 | 28.03 km al sureste de Valle de la Trinidad |
| 199 | 9/25/2023 4:20 | 31.548 | -115.684 | 5 | 7 | 0.2 | 100 | 1.3 | 0.8 | 1.4 | 19.76 km al noreste de Valle de la Trinidad |
| 200 | 9/25/2023 8:20 | 30.302 | -115.661 | 15 | 10 | 0.1 | 213 | 3.2 | 2.1 | 2.1 | 39.58 km al sureste de San Quintín |
| 201 | 9/25/2023 14:09 | 30.792 | -114.843 | 0 | 5 | 0.2 | 258 | 5.7 | 2.3 | 1.5 | 25.88 km al sur de San Felipe |
| 202 | 9/25/2023 14:23 | 32.058 | -116.175 | 13 | 10 | 0.3 | 87 | 2 | 2.1 | 1.5 | 45.2 km al noreste de Ensenada |
| 203 | 9/25/2023 18:02 | 30.78 | -114.837 | 16 | 5 | 0.1 | 260 | 4.7 | 1.9 | 1.4 | 27.21 km al sur de San Felipe |
| 204 | 9/26/2023 3:38 | 30.548 | -116.203 | 1 | 11 | 0.2 | 225 | 2.5 | 2.4 | 3.1 | 24.78 km al oeste de San Quintín |
| 205 | 9/26/2023 6:22 | 27.813 | -111.803 | 18 | 5 | 0 | 134 | 1.6 | 2.7 | 2.4 | 69.7 km al noreste de Santa Rosalía |
| 206 | 9/26/2023 7:22 | 31.553 | -115.663 | 6 | 6 | 0.3 | 119 | 2.6 | 1.4 | 0.9 | 21.21 km al noreste de Valle de la Trinidad |
| 207 | 9/26/2023 7:23 | 30.51 | -116.24 | 15 | 6 | 0.1 | 291 | 3.2 | 2.6 | 1.2 | 28.84 km al oeste de San Quintín |
| 208 | 9/26/2023 10:32 | 24.741 | -109.378 | 20 | 5 | 0.1 | 121 | 1.9 | 5 | 2.8 | 101.07 km al sur de Topolobampo |
| 209 | 9/26/2023 11:23 | 31.357 | -115.396 | 5 | 10 | 0.2 | 67 | 1.1 | 1.2 | 1.9 | 36.4 km al este de Valle de la Trinidad |
| 210 | 9/26/2023 18:16 | 31.229 | -116.71 | 6 | 9 | 0.2 | 226 | 2.8 | 1.8 | 2.3 | 52.65 km al sur de Benito García (El Zorrillo) |
| 211 | 9/26/2023 18:40 | 30.514 | -116.209 | 10 | 4 | 0.1 | 305 | 3.5 | 2.9 | 1.4 | 25.84 km al oeste de San Quintín |
| 212 | 9/26/2023 22:55 | 32.031 | -116.156 | 10 | 14 | 0.1 | 76 | 0.8 | 0.5 | 1.9 | 45.55 km al noreste de Ensenada |
| 213 | 9/26/2023 23:24 | 30.861 | -116.31 | 12 | 9 | 0.1 | 211 | 1.4 | 0.9 | 2.1 | 23.64 km al oeste de Camalú |
| 214 | 9/27/2023 5:10 | 30.495 | -116.229 | 11 | 5 | 0.1 | 284 | 2.8 | 2 | 1 | 28.2 km al oeste de San Quintín |
| 215 | 9/27/2023 5:11 | 31.414 | -115.407 | 5 | 5 | 0.1 | 117 | 1 | 1.3 | 1.1 | 35.28 km al este de Valle de la Trinidad |
| 216 | 9/27/2023 8:06 | 32.109 | -116.438 | 17 | 13 | 0.2 | 103 | 1.5 | 1.1 | 2.1 | 30.54 km al noreste de Ensenada |
| 217 | 9/27/2023 10:48 | 32.654 | -115.721 | 4 | 13 | 0.3 | 78 | 1.4 | 1.5 | 1.2 | 15.16 km al noroeste de Progreso |

| | | | | | | | | | | | |
|-----|-----------------|--------|----------|----|----|------|-----|-----|------|-----|--|
| 218 | 9/27/2023 20:28 | 32.329 | -115.393 | 10 | 7 | 0.3 | 94 | 2.2 | 3.6 | 1.7 | 18.72 km al oeste de Delta |
| 219 | 9/27/2023 21:41 | 32.985 | -116.316 | 5 | 5 | 0.13 | 121 | 0 | 0.46 | 1.1 | 54.73 km al noreste de Tecate |
| 220 | 9/27/2023 22:08 | 30.561 | -116.199 | 0 | 6 | 0.3 | 243 | 2.9 | 3.6 | 2 | 24.35 km al oeste de San Quintín |
| 221 | 9/27/2023 23:35 | 30.735 | -114.201 | 17 | 6 | 0.2 | 154 | 2.3 | 1.8 | 1.9 | 68.9 km al sureste de San Felipe |
| 222 | 9/28/2023 0:37 | 32.333 | -115.417 | 8 | 9 | 0.2 | 81 | 2.4 | 1.8 | 1.7 | 20.89 km al oeste de Delta |
| 223 | 9/28/2023 1:09 | 32.339 | -115.405 | 9 | 16 | 0.3 | 80 | 2 | 2.1 | 2 | 19.7 km al oeste de Delta |
| 224 | 9/28/2023 3:01 | 30.546 | -116.21 | 1 | 10 | 0.2 | 226 | 2.8 | 2.6 | 2.7 | 25.46 km al oeste de San Quintín |
| 225 | 9/28/2023 11:53 | 32.423 | -116.329 | 5 | 10 | 0.2 | 174 | 1.1 | 1.3 | 1.5 | 32.06 km al sureste de Tecate |
| 226 | 9/28/2023 15:37 | 32.728 | -115.591 | 14 | 20 | 0.3 | 48 | 1.2 | 1.3 | 2 | 16.42 km al norte de Progreso |
| 227 | 9/28/2023 23:44 | 31.819 | -116.171 | 5 | 17 | 0.4 | 74 | 2.1 | 1.2 | 2.6 | 36.14 km al noreste de Benito García (El Zorrillo) |
| 228 | 9/29/2023 0:03 | 30.87 | -114.183 | 20 | 7 | 0 | 214 | 1.2 | 2.6 | 2 | 64.9 km al este de San Felipe |
| 229 | 9/29/2023 0:28 | 31.329 | -115.358 | 5 | 5 | 0 | 137 | 0.8 | 0.8 | 1.2 | 40.4 km al este de Valle de la Trinidad |
| 230 | 9/29/2023 2:48 | 31.254 | -115.335 | 7 | 7 | 0.2 | 91 | 1.2 | 1.4 | 1.3 | 44.65 km al este de Valle de la Trinidad |
| 231 | 9/29/2023 3:37 | 32.732 | -115.86 | 6 | 5 | 0.2 | 204 | 0 | 0.69 | 1.6 | 30.78 km al noroeste de Progreso |
| 232 | 9/29/2023 5:38 | 31.519 | -115.64 | 5 | 7 | 0.1 | 102 | 1.1 | 0.8 | 1.2 | 19.46 km al noreste de Valle de la Trinidad |
| 233 | 9/29/2023 5:50 | 30.871 | -116.33 | 10 | 6 | 0.1 | 243 | 3.7 | 1.3 | 1.4 | 25.66 km al oeste de Camalú |
| 234 | 9/29/2023 14:14 | 31.199 | -115.576 | 3 | 8 | 0.3 | 81 | 1.9 | 1.9 | 1.9 | 28.53 km al sureste de Valle de la Trinidad |
| 235 | 9/29/2023 14:14 | 31.195 | -115.583 | 1 | 8 | 0.3 | 82 | 0 | 0.68 | 1.9 | 28.44 km al sureste de Valle de la Trinidad |
| 236 | 9/29/2023 14:14 | 31.208 | -115.579 | 2 | 8 | 0.2 | 81 | 1.4 | 1.2 | 1.8 | 27.6 km al sureste de Valle de la Trinidad |
| 237 | 9/29/2023 16:59 | 31.402 | -115.38 | 5 | 6 | 0.1 | 116 | 0.8 | 0.6 | 1.4 | 37.76 km al este de Valle de la Trinidad |
| 238 | 9/29/2023 17:00 | 31.41 | -115.388 | 5 | 14 | 0.2 | 71 | 0.8 | 0.7 | 3.3 | 37.05 km al este de Valle de la Trinidad |
| 239 | 9/29/2023 17:40 | 31.411 | -115.391 | 5 | 7 | 0.2 | 112 | 1.2 | 1.3 | 1.6 | 36.77 km al este de Valle de la Trinidad |
| 240 | 9/29/2023 19:03 | 32.723 | -115.528 | 12 | 13 | 0.5 | 133 | 0 | 0.75 | 2 | 12.63 km al noroeste de Mexicali |
| 241 | 9/29/2023 19:13 | 32.729 | -115.557 | 10 | 24 | 0.63 | 93 | 0 | 0.83 | 2.9 | 14.79 km al noroeste de Mexicali |
| 242 | 9/29/2023 20:46 | 32.463 | -116.777 | 0 | 9 | 0.3 | 205 | 4 | 1.5 | 1 | 6.14 km al suroeste de Villa del Campo |

| | | | | | | | | | | | |
|-----|-----------------|--------|----------|----|----|------|-----|-----|------|-----|---|
| 243 | 9/29/2023 20:47 | 31.418 | -115.392 | 5 | 6 | 0.1 | 110 | 1.1 | 0.9 | 1.7 | 36.73 km al este de Valle de la Trinidad |
| 244 | 9/30/2023 2:32 | 32.713 | -115.596 | 17 | 10 | 0.2 | 148 | 1.4 | 1.9 | 2.1 | 14.78 km al norte de Progreso |
| 245 | 9/30/2023 4:03 | 31.536 | -115.622 | 5 | 10 | 0.3 | 106 | 1.5 | 1.1 | 1.8 | 22 km al noreste de Valle de la Trinidad |
| 246 | 9/30/2023 6:46 | 30.788 | -115.254 | 5 | 7 | 0.2 | 194 | 1.4 | 1.9 | 1.5 | 47.53 km al suroeste de San Felipe |
| 247 | 9/30/2023 7:06 | 32.549 | -115.271 | 18 | 9 | 0.2 | 92 | 2.5 | 1.6 | 1.7 | 7.97 km al este de Ej. Puebla |
| 248 | 9/30/2023 11:12 | 28.14 | -112.348 | 8 | 5 | 0.1 | 210 | 4.9 | 1.1 | 2.3 | 85.72 km al suroeste de Bah a de Kino |
| 249 | 9/30/2023 11:42 | 32.993 | -116.453 | 7 | 5 | 0.12 | 88 | 0 | 0.32 | 1.2 | 49.99 km al norte de Tecate |
| 250 | 9/30/2023 12:49 | 31.579 | -115.685 | 4 | 7 | 0.3 | 104 | 2.1 | 1.6 | 1.6 | 22.86 km al norte de Valle de la Trinidad |
| 251 | 9/30/2023 15:57 | 32.726 | -115.551 | 12 | 9 | 0.66 | 110 | 0 | 1.46 | 1.8 | 14.2 km al noroeste de Mexicali |

10 MAPA DE EVENTOS REGISTRADOS POR RSC, SEPTIEMBRE 2023

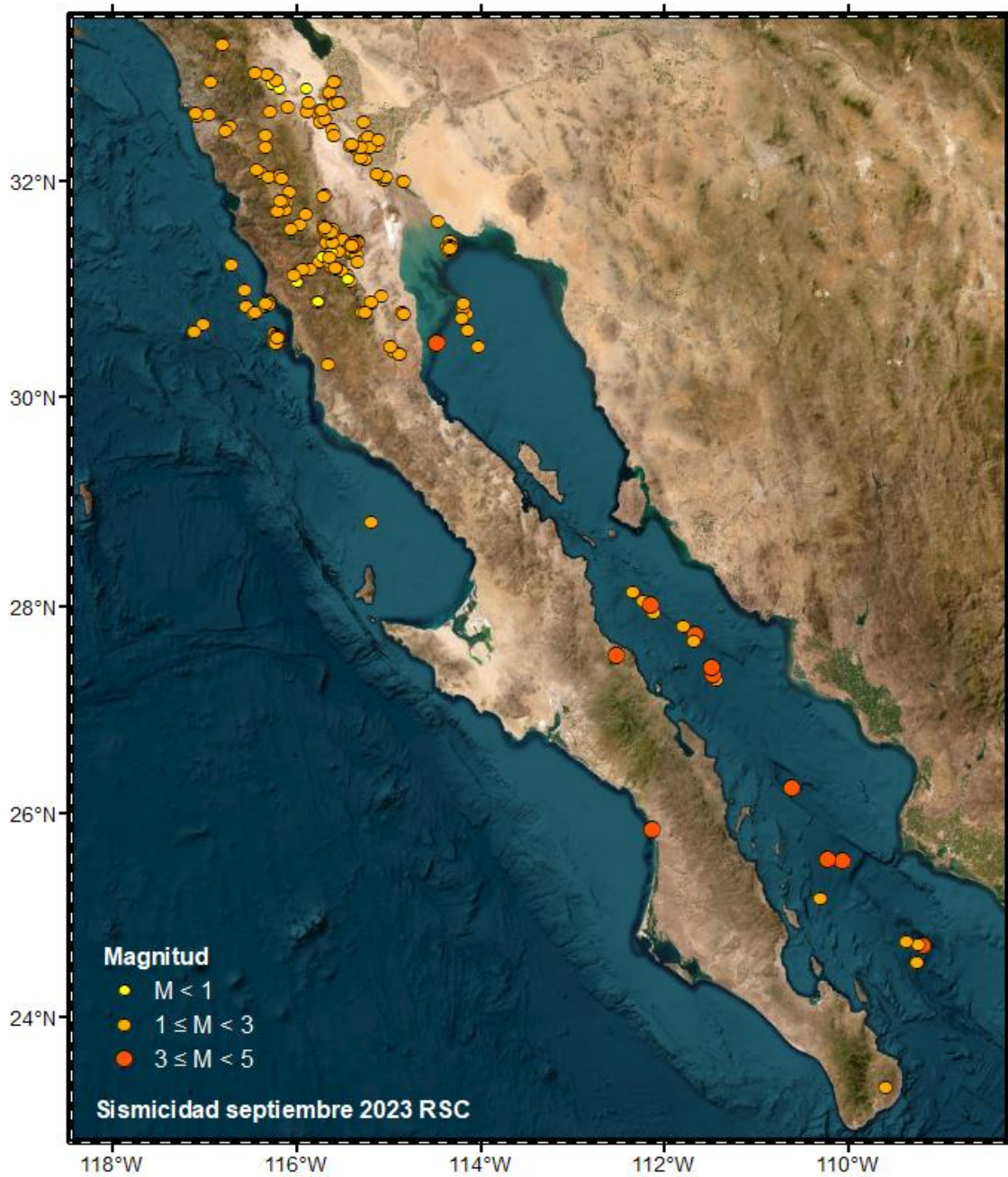


Figura 7.- Mapa eventos mes de Septiembre 2023

11 REFERENCIAS

Caltech (2013), Southern California Earthquake Center.
<https://doi.org/10.7909/C3WD3xH1>.

Castro, R. R., Mendoza-Camberos, A. y Pérez-Vertti, A. (2018), The Broad Band Seismological Network (RESBAN) of the Gulf of California, México. *Seismological Research Letters*, Vol. 89, No. 2A, pp. 338-344.
<https://doi.org/https://doi.org/10.1785/0220170117>

CICESE (1980), Red Sísmica del Noroeste de México.
<http://www.fdsn.org/networks/detail/BC/> (accessed 5.17.21).

Dorsey, R. J., P. J. Umhoefer, P.J., Oskin, M.E., and Arrowsmith, R. (2013), Rupturing Continental Lithosphere in the Gulf of California & Salton Trough. *GeoPRIMS Newsletter*, no. 30.

Fabriol, H., y Munguía, L. (1997), Seismic activity at the Cerro Prieto Geothermal area (México) from August 1994 to December 1995, and the relationship with tectonics and fluid exploitation. *Geophysical Research Letters* 24, no. 14, 1807-1810. doi: 10.1029/97GL01669.

González-G., J.J. y R. García-A., 1986. Escala de Magnitud-Coda para Estaciones Sismográficas en el Norte de Baja California. Resumen extenso, Memorias de la Reunión 1986 de la Unión Geofísica Mexicana, 399-406.

Hartog, J. R., Friber, P. A. Kres, V. C. Bodin y Bhadha, R. (2020), Open-Source ANSS Quake Monitoring System Software. *Seismological Research Letters*, Vol. 91, No. 2A, pp. 677–686. <https://doi.org/10.1785/0220190219>

Havskov, J., Voss P. H. y Ottemöler L. (2020), Seismological Observatory Software: 30 Yr of SEISAN. *Seismological Research Letters*, Vol. 91 No.3, pp. 1846-1852

Johnson, C E, A Bittenbinder, B Bogaert, L Dietz y W Kohler (1995), "Earthworm: A flexible approach to seismic network processing". *Iris Newsl.* 14, pp. 1-4.

Kleim, F. W. (2002), User's guide to Hypoinverse-2000, a FORTRAN program to solve for earthquake locations and magnitude, U.S. Geological Survey Open-File Rept. 02–171, 121.

McMechan G. A. and Mooney W. D. (1980), Asymptotic ray theory and synthetic seismograms for laterally varying structure s: theory and application to the Imperial Valley, California. *Bulletin of the Seismological Society of America*, 70, 2021-2035.

Nava, F. A., and Brune J.N. (1982), An earthquake-explosion reversed refraction line in the Peninsular Ranges of southern California and Baja California Norte, *Bulletin of the Seismological Society of America* 72, no 4, 1195-1206.

UNAM (1998), Servicio Sismológico Nacional. UNAM. URL <http://www.ssn.unam.mx/> (accessed 5.17.21).

Vidal Villegas, J. A., & Munguía Orozco, L. (1999), The ML scale in northern Baja California, Mexico. *Bulletin of the Seismological Society of America*, 89(3), 750-763. (ID: 2916).

Vidal Villegas, J. A., Munguía Orozco, L., González Ortega, J. A., Nuñez Leal, M. A., Ramírez Ramos, E. E., Mendoza Garcilazo, L. H., Castro Escamilla, R. R., & Wong Ortega, V. M. (2018), The Northwest Mexico Seismic Network: real time seismic monitoring in northern Baja California and northwestern Sonora, Mexico. *Seismological Research Letters*, 89(2A), 324 - 337. doi: 10.1785/0220170183.

Worden, C.B., and Wald, D. J. (2016), ShakeMap manual online: Technical manual, user's guide, and software guide, U.S. Geological Survey, doi: 10.5066/F7D21VPQ